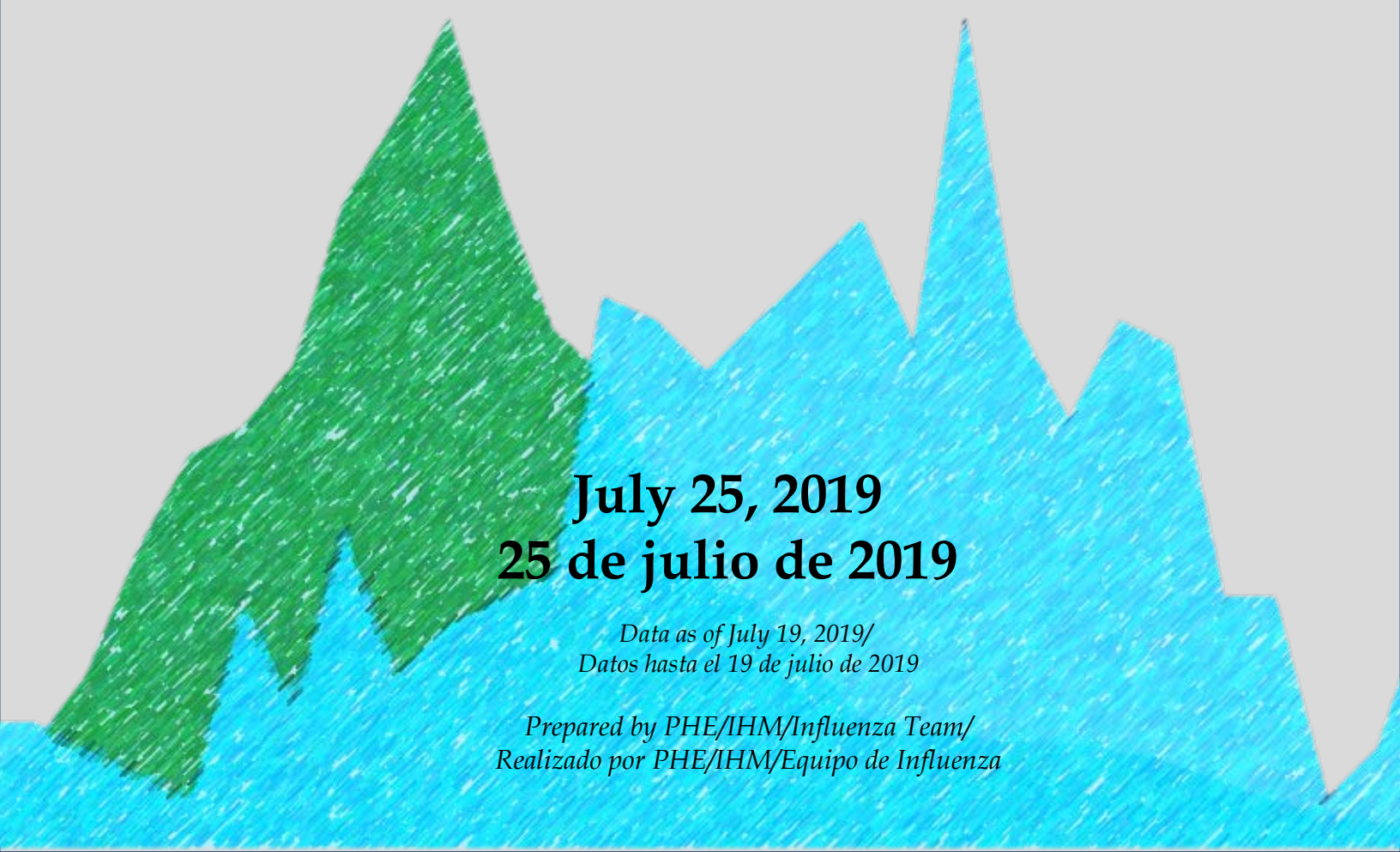


# 2019

## Weekly / Semanal Influenza Report EW 28/ Reporte de Influenza SE 28

Regional Update: Influenza & Other Respiratory Viruses /  
Actualización Regional: Influenza y Otros virus respiratorios



**July 25, 2019**  
**25 de julio de 2019**

*Data as of July 19, 2019/  
Datos hasta el 19 de julio de 2019*

*Prepared by PHE/IHM/Influenza Team/  
Realizado por PHE/IHM/Equipo de Influenza*

# WEEKLY REPORT DATA SOURCES

The information presented in this update is based on data provided by Ministries of Health and National Influenza Centers of Member States to the informatics global platforms [http://www.who.int/influenza/gisrs\\_laboratory/flunet/en/](http://www.who.int/influenza/gisrs_laboratory/flunet/en/) and [http://www.who.int/influenza/surveillance\\_monitoring/fluid/en/](http://www.who.int/influenza/surveillance_monitoring/fluid/en/); and reports/weekly bulletins that Ministries of Health published on its website or shared with PAHO/WHO.

La información presentada en esta actualización se obtiene a partir de los datos notificados por los Ministerios de Salud y los Centros Nacionales de Influenza de los Estados Miembros a las plataformas informáticas globales de la OPS/OMS: [FluNet](#) y [FluID](#); y de los informes/boletines semanales que los Ministerios de Salud publican en sus páginas web o comparten con OPS/OMS.

## PAHO INFLUENZA LINKS

**PAHO interactive data / Datos interactivos de la OPS:**

PAHO FluNet: [http://ais.paho.org/hip/viz/ed\\_flu.asp](http://ais.paho.org/hip/viz/ed_flu.asp)

PAHO FluID: <http://ais.paho.org/hip/viz/flumart2015.asp>

**Influenza Regional Reports / Informes regionales de influenza**

In English: <https://www.paho.org/hq/influenzareport>

En español: [www.paho.org/reportesinfluenza](http://www.paho.org/reportesinfluenza)

**Severe acute respiratory infections network - SARInet  
Red de las infecciones respiratorias agudas graves - SARInet:**

<http://www.sarinet.org>

[Go to Index/  
Ir al Índice](#)

# REPORT INDEX

## ÍNDICE DE LA ACTUALIZACIÓN

Section	Content	Page
1	<a href="#">Weekly Summary / Resumen Semanal</a>	4
2	<a href="#">Influenza Global Update 346/ Actualización de influenza a nivel mundial 346</a>	6
3	<a href="#">Overall Influenza and RSV circulation / Circulación general de los virus influenza y VSR</a>	7
4	<a href="#">Weekly and Cumulative numbers / Números semanales y acumulados</a>	9
5	<a href="#">Epidemiological and Virologic updates by country / Actualización epidemiológica y virológica por país</a>	10
6	<a href="#">More country information / Más información de países</a>	29
7	<a href="#">Influenza Human-Animal Interface Update / Actualización de influenza en la interfaz humano-animal</a>	31
8	<a href="#">Acronyms / Acrónimos</a>	33

## WEEKLY SUMMARY (ENGLISH)

**North America:** Overall, influenza activity was at inter-seasonal levels in [Canada](#), [Mexico](#) and the [United States](#), with influenza A(H3N2) predominating.

**Caribbean:** Influenza and SARI activity were low and continue to decrease; however, [Cuba](#) reported moderate influenza activity. Influenza A(H3N2) predominated in recent weeks.

**Central America:** Influenza and SARI activity remained at low levels in most countries with influenza A(H1N1)pdm09, influenza A(H3N2) and influenza B co-circulating. In [Costa Rica](#), influenza activity was at moderate levels; influenza A(H1N1)pdm09 and influenza A(H3N2) co-circulated. RSV activity in [El Salvador](#) continued elevated.

**Andean Region:** Low influenza activity was reported with influenza A(H3N2) predominance.

**Brazil and Southern Cone:** Overall, increased influenza activity was reported throughout the sub-region. In [Brazil](#), decreased influenza activity was reported with circulation of influenza A(H3N2). In [Chile](#) influenza activity is decreasing with co-circulation of influenza A(H1N1)pdm09, influenza A(H3N2) and influenza B. RSV activity is increasing. In [Uruguay](#) influenza detections decreased with circulation of influenza A(H1N1)pdm09. RSV activity decreased, and influenza transmissibility decreased as well, to low levels in [Paraguay](#).

**Global:** In the temperate zones of the southern hemisphere, trends in influenza activity varied by region and country. Activity in Australia increased while activity in New Zealand, and South Africa decreased this period. Influenza A(H3N2) viruses predominated in Oceania and South Africa. In Southern Asia, influenza activity was low across reporting countries, except in Bangladesh where activity remained high with influenza A(H3N2) viruses predominant. In South East Asia, an increase in influenza activity was observed in a few reporting countries. In Africa, with the exception of South Africa, influenza activity was low across reporting countries. In the temperate zone of the northern hemisphere, influenza activity was at inter-seasonal levels. Worldwide, seasonal influenza A viruses accounted for the majority of detections.

## RESUMEN SEMANAL (ESPAÑOL)

**América del Norte:** en general, la actividad de influenza se ubicó en niveles interestacionales en [Canadá](#), [México](#) y [los Estados Unidos](#), predominando la influenza A (H3N2).

**Caribe:** la actividad de influenza y de las IRAG fue baja y continúa disminuyendo; sin embargo, [Cuba](#) reportó moderada actividad de influenza. El virus de influenza A(H3N2) predominó en las últimas semanas.

**América Central:** la actividad de influenza y de IRAG se mantuvo en niveles bajos en la mayoría de los países con influenza A(H1N1)pdm09, influenza A(H3N2) e influenza B circulando concurrentemente. En [Costa Rica](#), la actividad de influenza estuvo en niveles moderados; influenza A(H1N1)pdm09 e influenza A(H3N2) circularon de manera simultánea. La actividad del VRS continúa elevada [El Salvador](#).

**Región Andina:** se reportó una baja actividad de influenza con predominio de influenza A(H3N2).

**Brasil y Cono Sur:** en general, se informó un aumento de la actividad de la influenza en toda la subregión. En [Brasil](#), la actividad de influenza disminuyó con la circulación de influenza A(H3N2). En [Chile](#), la actividad de influenza está disminuyendo con la circulación concurrente de influenza A(H1N1)pdm09, influenza A(H3N2) e influenza B. La actividad del VRS está aumentando. En [Uruguay](#), las detecciones de influenza disminuyeron con la circulación de influenza A(H1N1)pdm09. La actividad del VRS disminuyó y la transmisibilidad de la influenza también disminuyó a niveles bajos en [Paraguay](#).

**Mundial:** en las zonas templadas del hemisferio sur, las tendencias en la actividad de la influenza variaron según la región y el país. La actividad en Australia aumentó, mientras que la actividad en Nueva Zelanda y Sudáfrica disminuyó este período. Los virus de la influenza A(H3N2) predominaron en Oceanía y Sudáfrica. En el sur de Asia, la actividad de influenza fue baja en todos los países informantes, excepto en Bangladesh, donde la actividad se mantuvo alta con predominio de virus de influenza A (H3N2). En el sudeste asiático, se observó un aumento en la actividad de la influenza en unos pocos países informantes. En África, con la excepción de Sudáfrica, la actividad de influenza fue baja en todos los países informantes. En la zona templada del hemisferio norte, la actividad de la influenza se encontraba en niveles interestacionales. En todo el mundo, los virus de la influenza A estacional representaron la mayoría de las detecciones.

## Influenza Global Update 346 / Actualización de influenza a nivel mundial 346

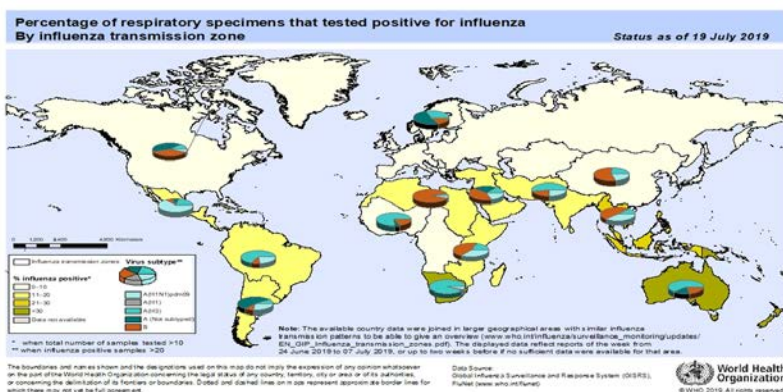
July 22, 2019 / 22 de julio de 2019

Based on data up to July 7, 2019 / basado en datos hasta el 7 de julio de 2019

Global Level /  
Nivel Mundial

In Oceania, influenza activity continued across the transmission zone, with influenza A(H3N2) predominant among the subtyped influenza A viruses. In Australia, influenza A(H3N2) viruses were most frequently detected, followed by influenza B viruses. Influenza and ILI activity decreased in New Zealand this period. No alerts of unusual influenza activity were reported among the other countries in the transmission zone. In South Africa, influenza activity continued to decrease this period and influenza A(H3N2) viruses remained predominant. In Western Africa, influenza detections were low across reporting countries. However, influenza A(H3N2) virus detections and increased ILI activity were reported in Guinea and Nigeria. In Middle Africa, there was very little influenza activity among reporting countries. In Eastern Africa, influenza detections continued to be reported with influenza A(H1N1)pdm09 viruses predominant, followed by A(H3N2) and influenza B viruses. Influenza A(H1N1)pdm09 viruses predominated in Mauritius, while influenza B viruses were predominant in Ethiopia, Kenya and Madagascar. In Southern Asia, influenza detections remained low across reporting countries, except in Bangladesh where activity remains high with influenza A(H3N2) viruses predominant. In South East Asia, an increase in influenza activity was observed in reporting countries. In the temperate zone of the northern hemisphere, influenza activity remained at interseasonal levels in most countries. In Hong Kong, Special Administrative Region China, influenza activity continued to increase steadily but remained below baseline. All seasonal subtypes were circulating, with influenza B viruses predominant. En Oceanía, la actividad de influenza continuó en la zona de transmisión, predominando influenza A(H3N2) entre los subtipos de influenza A. En Australia, los virus de la influenza A(H3N2) se detectaron con mayor frecuencia, seguidos de los virus de la influenza B. La actividad de influenza y de ETI disminuyó en Nueva Zelanda este período. No se informaron alertas de actividad inusual por influenza entre los otros países en la zona de transmisión. En Sudáfrica, la actividad de la influenza continuó disminuyendo este período y los virus de la influenza A(H3N2) continuaron siendo predominantes. En África occidental, las detecciones de influenza fueron bajas en todos los países informantes. Sin embargo, se informaron detecciones de virus de influenza A(H3N2) y aumento de la actividad de ETI en Guinea y Nigeria. En África Central, hubo muy poca actividad de influenza entre los países que informaron. En África oriental, continuaron los reportes de detección de influenza predominio del virus influenza A(H1N1)pdm09, seguido de los virus A(H3N2) e influenza B. Los virus de influenza A(H1N1)pdm09 predominaron en Mauricio, mientras que los virus de la influenza B predominaron en Etiopía, Kenia y Madagascar. En el sur de Asia, las detecciones de influenza se mantuvieron bajas en todos los países informantes, excepto en Bangladesh, donde la actividad sigue siendo alta con predominio de virus de influenza A (H3N2). En el sudeste asiático, se observó un aumento en la actividad de la influenza en los países informantes. En la zona templada del hemisferio norte, la actividad de la influenza se mantuvo en los niveles interestacionales en la mayoría de los países. En Hong Kong, Región Administrativa Especial de China, la actividad de influenza continuó aumentando de manera constante, pero se mantuvo por debajo del nivel de referencia. Todos los subtipos estacionales estuvieron circulando, con predominio del virus influenza B.

National Influenza Centres (NICs) and other national influenza laboratories from 91 countries, areas or territories reported data to FluNet for the time period from 24 June 2019 to 7 July 2019. The WHO GISRS laboratories tested more than 49384 specimens during that time period. 5748 were positive for influenza viruses, of which 3894 (67.7%) were typed as influenza A and 1854 (32.3%) as influenza B. Of the sub-typed influenza A viruses, 973 (37.3%) were influenza A(H1N1)pdm09 and 1634 (62.7%) were influenza A(H3N2). Of the characterized B viruses, 43 (4.4%) belonged to the B-Yamagata lineage and 930 (95.6%) to the B-Victoria lineage. Los Centros Nacionales de Influenza (NIC) y otros laboratorios nacionales de influenza de 91 países, áreas o territorios reportaron sus datos a FluNet para el período comprendido entre el 24 de junio y el 7 de julio de 2019. Los laboratorios GISRS de la OMS analizaron más de 49.384 muestras durante ese período. Un total de 5.748 fueron positivas para los virus de la influenza, de las cuales 3.894 (67,7%) se tipificaron como influenza A y 1.854 (32,3%) como influenza B. De los virus de influenza A, a los cuales se les identificó el subtipo, 973 (37,3%) fueron influenza A(H1N1)pdm09 y 1.634 (62,7%) fueron influenza A(H3N2). De los virus B caracterizados, 43 (4,4%) pertenecían al linaje B-Yamagata y 930 (95,6%) al linaje B-Victoria.





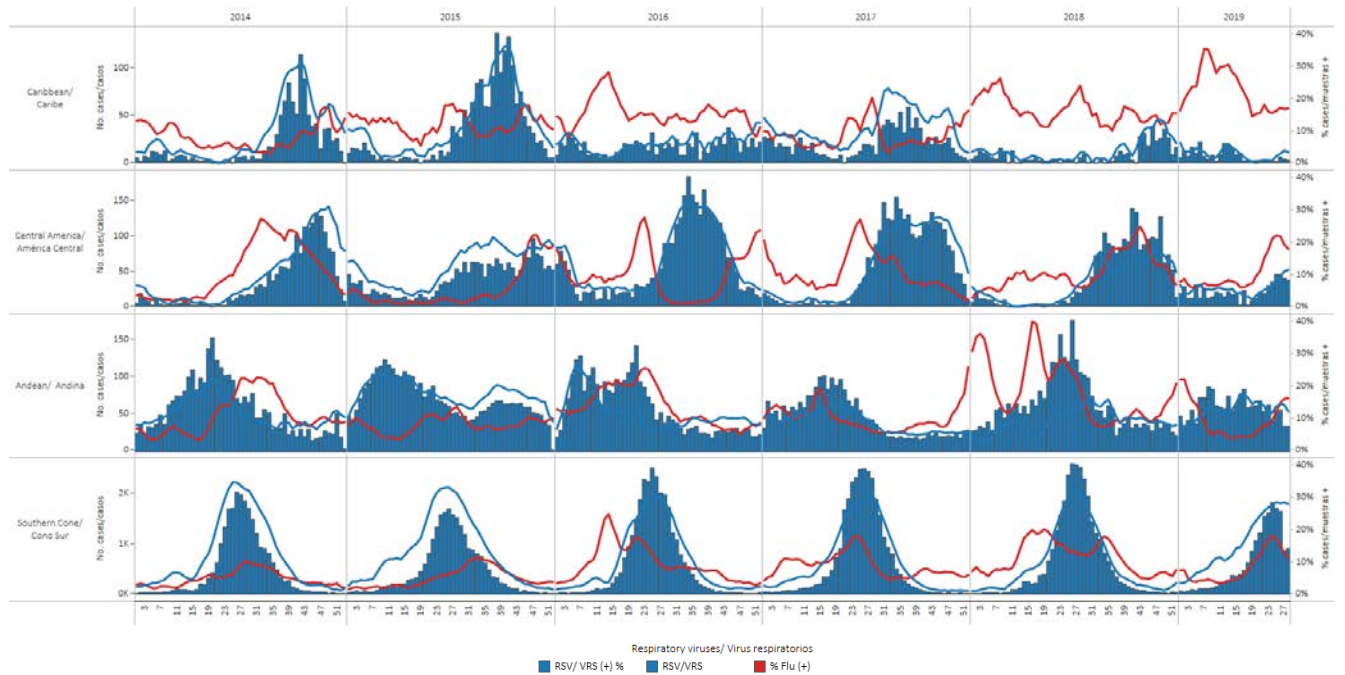
## Influenza circulation by subregion, 2014-19 Circulación de virus influenza por subregión, 2014-19

Report Summaries –  
Resumen del Reporte



## Respiratory syncytial virus (RSV) circulation by subregion, 2014-19

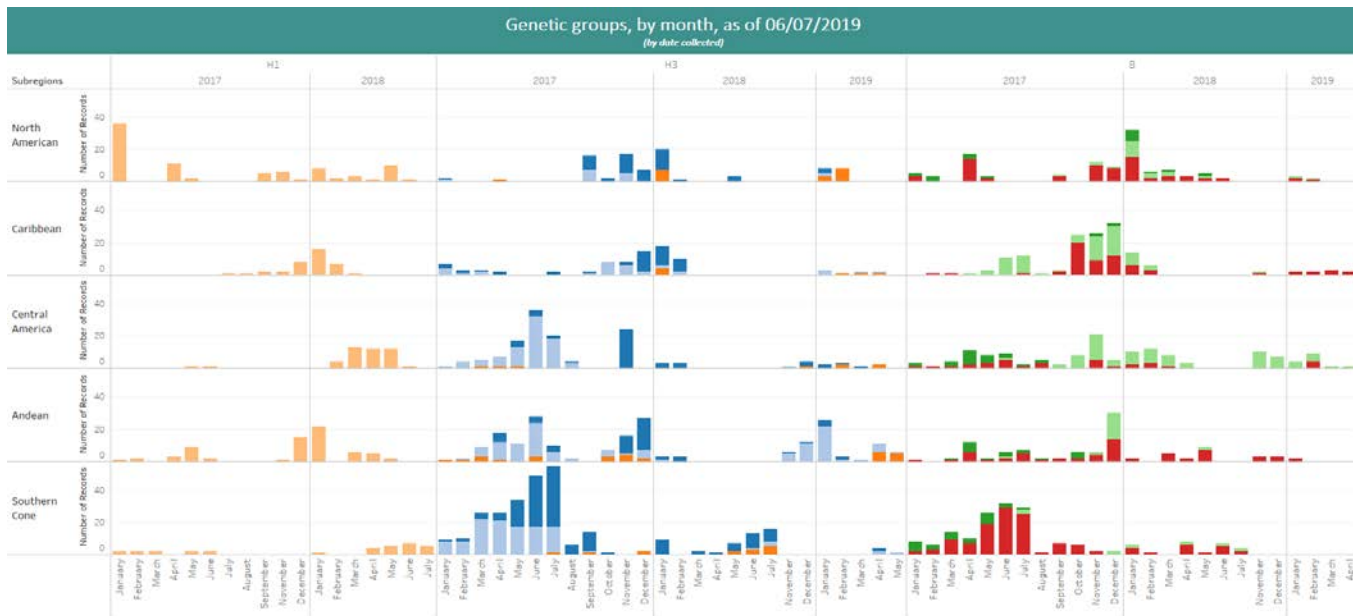
## Circulación de virus respiratorio sincitial (VRS) por subregión, 2014-19



\*To view more lab data, view [here](#). / Para ver más datos de laboratorio, vea [aquí](#).

## Genetic Characterization of Influenza Virus by Subregion, 2017-19

## Caracterización Genética de los Virus Influenza por Subregión, 2017-19



Sum of Number of Records for each Date Coll't; Month broken down by Genetic Group (group) and Date Coll't; Year vs. Subregions. Color shows details about Genetic Group. Details are shown for ALL COUNTRIES. The data is filtered on Date Coll't, which ranges from 1/2/2017 to 6/30/2019. The view is filtered on Genetic Group, Date Coll't; Year, Genetic Group (group), Subregions, Date Coll't; Month and ALL COUNTRIES. The Genetic Group filter keeps 27 of 33 members. The Date Coll't; Year filter keeps 13 of 13 members. The Date Coll't; Month filter keeps 13 of 13 members. The ALL COUNTRIES filter keeps 36 of 36 members.

These data are from the WHO –Collaborating Center at the U.S. CDC.  
Estos datos son recolectados desde el CC de la OMS en los CDC de EE. UU.

- Genetic Group
- 3C.2a
  - 3C.2a1
  - 3C.3a
  - 6B.1
  - V1A
  - V1A.1
  - Y3



# Weekly and cumulative numbers of influenza and other respiratory viruses, by country and EW, 2019<sup>1</sup>

## Números semanales y acumulados de influenza y otros virus respiratorios, por país y SE, 2019<sup>2</sup>

Report Summaries –  
Resumen del Reporte

### EW 28, 2019 / SE 28, 2019

		N muestras	FLUAH3	FLU H1N1	Influenza A non-subtyped*	FLUA NoSa	B Victoria	B Yamagata	B linaje no determinado	Influenza (+) %	Adenovir.	Parainflu.	VSR	% RSV/VSR (+)	Bocavirus	Coronavir.	Metapn.	Rinovirus	% All Positive Samples (+)
North America/ América del Norte	Canada	1,972	16	2	11					9 1.9%	34	54	11	1%		5	11	220	18.9%
	Mexico	118	8	5	0	0	0	0	0	0 11.0%	0	0	0	0%	0	0	0	0	0
Caribbean/ Caribe	Cuba	36	3	2	2	0	0	0	0	19.4%	1	3	2	6%	0	0	0	2	41.7%
	Cuba IRAG	21	1	1	2	0	0	0	0	19.0%	1	2	1	5%	0	0	0	2	47.6%
	Dominican Repub.	5			0					0.0%									0.0%
	Jamaica	19	0	0	2	0	0	0	1	15.8%	0	0	0	0%					15.8%
Suriname	2	0	0	0	0	0	0	0	0.0%	0	0	0	0%	0	0	0	0	0	0.0%
Central America/ América Central	Costa Rica	85	4	5	11	0	0	0	1	24.7%	3	1	18	21%				0	50.6%
	El Salvador	35	1	1	0	0	0	0	0	5.7%	2	1	17	49%	0	0	0	0	62.9%
	Guatemala	8		1	0					12.5%								2	37.5%
	Honduras	7	0		0	0	0	0	0	0.0%	0	0	0	0%					0.0%
	Nicaragua	76		3	0				3	7.9%			2					1	11.8%
Panama	74	0	13	0	0	0	0	3	21.6%	0	0	2	3%	0	0	1	0	25.7%	
Andean/ Andina	Bolivia	39	2	2	3	0	0	0	1	10.8%	0	0	3	4%	0	0	0	0	14.9%
	Colombia	53	6	12	0	0	0	0	1	35.8%	1	0	10	19%	0	0	0	0	56.6%
	Peru	107	14	1	0	0	0	1	0	15.0%	0	0	22	21%	0	0	0	1	36.4%
Brazil & Southern Cone/ Brasil y Cono Sur	Brazil	170	9	8	0				7	14.1%	9	1	2	1%					21.2%
	Chile	2,672	23	25	118			20	72	9.8%	61	79	852	32%				27	48.0%
	Paraguay	161	0	20	0	0	0	0	1	13.0%	2	1	43	27%	0	0	6	0	45.3%
	Uruguay	15	1	2	0	0	0	0	0	20.0%	0	0	3	20%	0	0	0	0	40.0%
Grand Total		5,675	88	103	149	0	0	24	96	8.1%	114	144	986	17%	0	5	48	225	34.8%

These are the raw numbers provided in the country's FluNet update (Not the smoothed averages)  
Estos son los números crudos proporcionados en la actualización FluNet del país (no los promedios suavizados)

\*Please note blank cells indicate N/A.  
\*Por favor notar que las celdas en blanco indican N/A.

### EW 25 - EW 28, 2019 / SE 25 - SE 28, 2019

		N samples/ muestras	Influenza (H3N2)*	Influenza A (H1N1) pdm09*	Influenza A non-subtyped*	Influenza B Victoria*	Influenza B Yamagata*	Influenza B lineage undetermined	Influenza (+) %	Adenovirus*	Parainfluen.	RSV/VSR*	% RSV/VSR (+)	Bocavirus*	Coronavir.*	Metapneumov.	Rinovirus*	Parainfluenza*	% All Positive Samples (+)
North America/ América del Norte	Canada	9,394	110	9	78	0	0	79	2.9%	151	341	55	0.6%	0	43	60	907	19.5%	
	Mexico	843	71	20	0	5	8	1	12.6%	1	5	1	0.1%	0	0	0	4	13.9%	
	USA	7,676	2	11	90	0	0	85	2.4%	0	0	0	0	0	0	0	0	0	2.4%
Caribbean/ Caribe	CARPHA	5	0	1	0	0	0	0	20.0%	0	0	0	0.0%	0	0	0	1	40.0%	
	Cuba	191	17	12	2	2	0	2	18.3%	2	12	8	4.2%	1	5	0	16	41.4%	
	Cuba IRAG	127	5	7	2	0	0	1	11.8%	2	8	4	3.1%	1	2	0	12	34.6%	
	Dominican Repub.	62	3	0	0	0	1	0	6.5%	2	0	2	3.2%	0	0	0	0	12.9%	
	French Guiana	24	15	2	0	0	0	0	70.8%	0	0	0	0	0	0	0	0	70.8%	
	Jamaica	81	7	1	3	0	0	3	17.3%	0	0	0	0.0%	0	0	0	0	17.3%	
	Suriname	35	3	0	0	0	0	1	11.4%	0	0	0	0.0%	0	0	0	0	11.4%	
Central America/ América Central	Costa Rica	464	89	80	11	0	0	4	39.7%	31	16	76	16.4%	0	0	0	0	66.2%	
	El Salvador	135	1	2	0	0	0	0	2.2%	7	5	66	48.9%	0	0	0	0	60.0%	
	Guatemala	86	7	2	0	0	0	0	12.8%	4	9	4	4.7%	0	0	7	0	40.7%	
	Honduras	84	3	2	0	0	0	0	6.0%	3	6	1	1.2%	0	0	0	0	17.9%	
	Nicaragua	452	4	8	0	0	0	9	4.6%	1	14	0		0	0	5	0	9.1%	
Panama	439	1	126	0	0	5	0	30.1%	11	10	7	1.6%	0	1	2	19	41.5%		
Andean/ Andina	Bolivia	373	42	15	3	0	1	1	16.6%	0	0	26	7.0%	0	0	0	0	23.6%	
	Colombia	317	20	48	0	0	0	5	23.0%	14	3	76	24.0%	6	7	9	6	61.2%	
	Ecuador	92	1	0	0	0	0	1	2.2%	0	4	1	1.1%	0	0	0	0	7.6%	
	Peru	413	54	1	0	1	1	0	13.8%	1	3	78	18.9%	0	0	4	7	36.3%	
Brazil & Southern Cone/ Brasil y Cono Sur	Argentina	4,421	31	191	367	0	0	4	13.4%	90	116	1,902	43.0%	0	0	30	0	61.8%	
	Brazil	884	68	130	0	0	0	59	29.1%	26	1	11	1.2%	2	0	1	8	34.6%	
	Chile	10,844	154	410	563	0	70	161	13.1%	244	413	2,672	24.6%	0	0	78	0	44.5%	
	Chile IRAG	72	0	12	11	0	0	3	36.1%	0	7	32	44.4%	0	0	0	0	90.3%	
	Paraguay	953	4	165	0	0	0	8	18.6%	14	4	279	29.3%	0	0	19	0	51.7%	
	Paraguay IRAG	497	3	87	1	0	0	6	19.5%	5	1	182	36.6%	0	0	4	0	58.1%	
Uruguay	88	3	17	0	0	0	0	22.7%	0	0	16	18.2%	0	0	1	0	42.0%		
Grand Total		39,052	718	1,359	1,131	8	87	432	9.7%	609	978	5,499	14.1%	10	58	220	980	31.1%	

### EW 27, 2019 / SE 27, 2019

\*Note: These countries reported in EW 28,2019, but have provided data up to EW 27.  
\*Nota: Estos países reportaron en la SE 28,2019, pero han enviado los datos hasta la SE 27.

		N samples/ muestras	Influenza A(H3N2)	Influenza A (H1N1) pdm09	Influenza A No subtipificado	Total Influenza B	Influenza (+) %	Adenovirus	RSV/VRS	% RSV/VSR (+)	Bocavirus*	Coronavir.*	Metapneumov.	Rinovirus*	Parainfluenza*	% All Positive Samples (+)
Caribbean/ Caribe	CARPHA	7	0	0	0	0	0.0%	0	0	0%	0	0	0	1	0	14.3%
Andean/ Andina	Ecuador	52	0	0	0	0	0.0%	0	2	4%	0	0	0	0	0	3.8%
Brazil & Southern Cone/ Brasil y Cono Sur	Paraguay IRAG	128	0	2	0	0	1.6%	0	45	35%	0	0	9	0	1	44.5%
Grand Total		187	0	2	0	0	1.1%	0	47	25%	0	0	9	1	1	32.1%

### Total Influenza B, EW 28, 2019

	Total Influenza B	B Victoria	B Yamagata	B linaje no determinado	% B Victoria	% B Yamagata
North America/ América del Norte	178	5	8	165	38%	62%
Caribbean/ Caribe	10	2	2	6	50%	50%
Central America/ América Central	18	0	5	13	0%	100%
Andean/ Andina	11	1	2	8	33%	67%
Brazil & Southern Cone/ Brasil y Cono Sur	911	0	70	241	0%	100%
Grand Total	528	8	87	433	8%	92%

<sup>1</sup> The detection of respiratory viruses other than influenza depends on the diagnostic capacity of each country and monitoring system. The absence of report of other respiratory viruses does not indicate the absence of their circulation.

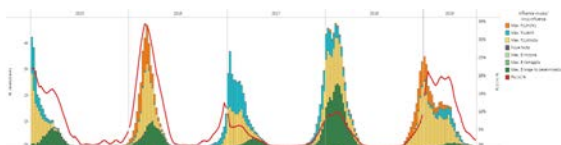
<sup>2</sup> La detección de otros virus respiratorios diferentes a influenza depende de la capacidad diagnóstica de cada país y del sistema de vigilancia establecido. El que no se reporten otros virus respiratorios, no significa, ni indica la ausencia de circulación viral.

North America / América del Norte

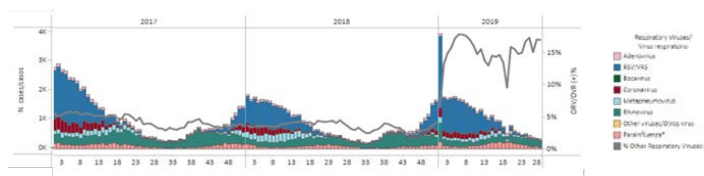
Canada / Canadá

- In EW 28, influenza activity continues to decline, influenza A(H1N1)pdm09 remains the predominant subtype overall for the 2018-2019 season (Graph 1). RSV detections decreased in comparison to previous weeks and the co-circulation of enterovirus/rhinovirus, and parainfluenza viruses was observed (Graph 2). / En la SE 28, la actividad de influenza continúa disminuyendo, el virus de la influenza A(H1N1)pdm09 continúa como el subtipo predominante en toda la temporada 2018-2019 (Gráfico 1). Las detecciones de VRS disminuyeron en comparación con las semanas anteriores y se observó circulación concurrente de enterovirus/rinovirus y parainfluenza (Gráfico 2).

**Graph 1.** Canada: Influenza virus distribution by EW, 2015-19, EW 28  
Distribución de virus de influenza por SE, 2015-19. SE 28



**Graph 2.** Canada: RSV and other respiratory viruses distribution, EW 28, 2017-19  
Distribución del VRS y otros virus respiratorios, SE 28, 2017-19

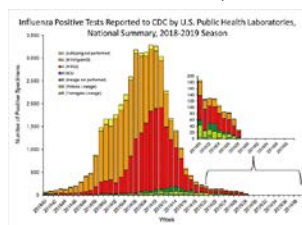


\*To view more epi data, view [here](#). / Para ver más datos epi, vea [aquí](#).

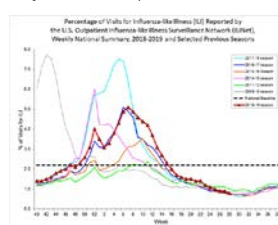
United States / Estados Unidos

- During EW 28, overall, influenza activity was at low levels with influenza A(H3N2) virus predominance; influenza A(H1N1) and influenza B/Victoria lineage viruses co-circulated (Graph 1). Influenza-like illness activity was at low levels (0.8%), below the national baseline (2.2%) (Graph 2). In EW 28, two influenza-associated pediatric deaths were reported (Graph 3). One death was associated with an influenza A virus for which no subtyping was performed and the other was associated with an influenza A (H3) virus. / En general, en la SE 28, la actividad de influenza estuvo en niveles bajos con predominio del virus influenza A(H3N2) entre las detecciones de influenza; circularon concurrentemente los virus influenza A(H1N1) e influenza B, linaje Victoria (Gráfico 1). En la SE 28, la actividad de la ETI se ubicó en niveles bajos (0,8%), por debajo de la línea de base nacional (2,2%) (Gráfico 2). En la SE 28, se reportaron dos muertes pediátricas asociadas a influenza (Gráfico 3). Una muerte se asoció con un virus de influenza A para el cual no se realizó subtipo y la otra se asoció con un virus de influenza A (H3).

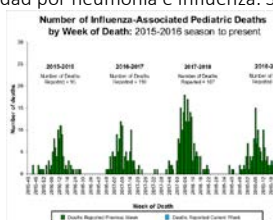
**Graph 1.** US: Influenza virus distribution by EW 28, 2015-19  
Distribución de virus de influenza por SE 28, 2015-19



**Graph 2.** Percentage of visits for ILI, 2018-2019. EW 28  
Porcentaje de visitas por ETI, 2018-2019. SE 28



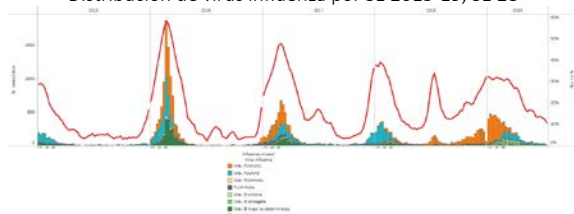
**Graph 3.** US: Pneumonia and influenza mortality. EW 28, 2019  
Mortalidad por neumonía e influenza. SE 28, 2019



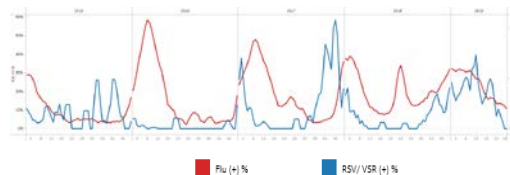
\*To view more epi data, view [here](#). / Para ver más datos epi, vea [aquí](#).

- Influenza activity remained low in EW 28 with influenza A(H3N2), influenza B and influenza A(H1N1)pdm09 among the influenza detections (Graph 1). No detections of RSV were reported during this week (Graph 2). During EW 21 to EW 28, 2019, 253 influenza-associated SARI/ILI cases were reported. Veracruz, Jalisco, Mexico City, Guerrero and Sonora were the states with the greatest number of influenza-associated SAR/ILI cases (Graph 3). So far, during the influenza interseason period, 8 SARI/ILI-influenza deaths have been notified. The states with the highest number of SARI/ILI-influenza deaths were Veracruz, Baja California Sur, Jalisco, Baja California, and Hidalgo (Graph 4). / La actividad de influenza se mantuvo baja en la SE 28 con influenza A(H3N2), influenza B e influenza A(H1N1)pdm09 entre las detecciones de influenza (Gráfico 1). No se informaron detecciones de VRS durante esta semana (Gráfico 2). De la SE 21 a la SE 28, 2019, se reportaron 253 casos IRAG/ETI asociados a la influenza. Veracruz, Jalisco, Ciudad de México, Guerrero y Sonora fueron los estados con el mayor número de casos de IRAG/ETI asociados a la influenza (Gráfico 3). Hasta el momento, durante el período interestacional de la influenza, se han notificado 8 muertes por IRAG/ETI asociadas a la influenza. Los estados con el mayor número de muertes por IRAG/ETI asociadas a la influenza fueron Veracruz, Baja California Sur, Jalisco, Baja California e Hidalgo (Gráfico 4).

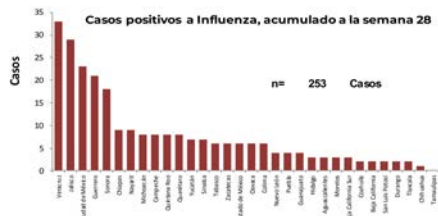
**Graph 1.** Mexico: Influenza virus distribution by EW 2015-19, EW 28  
Distribución de virus influenza por SE 2015-19, SE 28



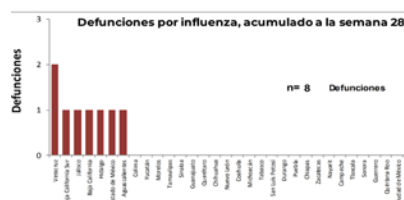
**Graph 2.** Mexico: Influenza and RSV distribution, EW 28, 2015-19  
Distribución de virus influenza y VRS, SE 28, 2015-19



**Graph 3.** Mexico: SARI/ILI-influenza cases EW 28, 2018/19  
Casos de IRAG/ETI asociados a influenza SE 28, 2018/19



**Graph 4.** Mexico: SARI/ILI-influenza deaths EW 28, 2018/19  
Casos fallecidos por IRAG/ETI asociados a Influenza SE 28 2018/19



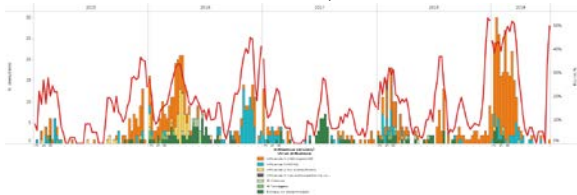
\*To view more epi data, view [here](#). / Para ver más datos epi, vea [aquí](#).

## Caribbean/ Caribe

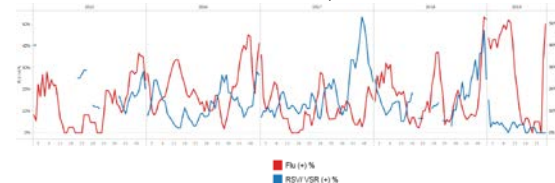
### CARPHA

- Few detections of influenza were reported during EW 27, with influenza A(H1N1)pdm09 circulating; Aruba reported activity (Graph 1). In the subregion, no RSV activity has been reported since EW 21 (Graph 2). / Se notificaron pocas detecciones de influenza durante la SE 27, con influenza A(H1N1)pdm09 en circulación; actividad reportada por Aruba (Gráfico 1). En la subregión no se ha reportado actividad de VRS desde la SE 21 (Gráfico 2).

**Graph 1.** CARPHA. Influenza virus distribution EW, EW 27, 2015-19.  
Distribución de virus influenza por SE, SE 27 2015-19.



**Graph 2.** CARPHA. Influenza and RSV distribution, EW 27, 2015-19.  
Distribución de virus influenza y VSR, SE 27, 2015-19.

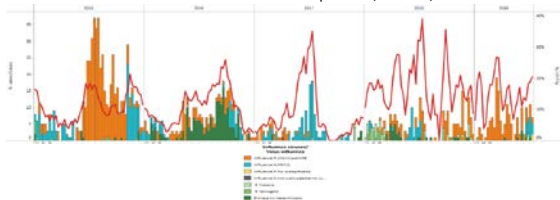


\*To view more epi data, view [here](#). / Para ver más datos epi, vea [aquí](#).

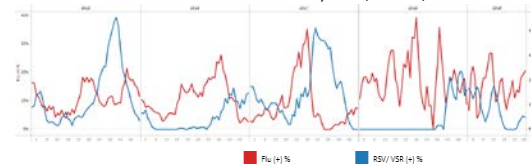
### Cuba

- Influenza detections decreased during EW 28, in comparison with the previous week. Co-circulation of influenza A and B viruses was observed (Graph 1). Since EW 24, RSV detections trended upward to slightly decrease during this week (Graph 2). RSV co-circulated with parainfluenza, rhinovirus and adenovirus. An upward trend of percent positivity for influenza has been observed since EW 19, although it remains at epidemic levels (Graph 3). SARI case counts decreased in comparison to the previous week and was within levels seen during 2014-18 seasons for the same period (Graph 4). / Las detecciones de influenza disminuyeron durante la SE 28, en comparación con la semana anterior. Se observó circulación concurrente de los virus influenza A y B (gráfico 1). Desde la SE 24, las detecciones de VRS mostraron una tendencia ascendente para disminuir ligeramente durante esta semana (Gráfico 2). El VRS circuló concurrentemente con parainfluenza, rinovirus y adenovirus. Se ha observado una tendencia al alza del porcentaje de positividad para la influenza desde la SE 19, aunque se mantiene en niveles epidémicos (Gráfico 3). Los recuentos de casos de IRAG disminuyeron en comparación con la semana anterior y se ubicaron dentro de los niveles vistos durante las temporadas 2014-18 para el mismo período (Gráfico 4).

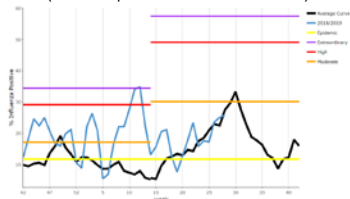
**Graph 1.** Cuba: Influenza virus distribution by EW, EW 28, 2015-19  
Distribución de virus influenza por SE, SE 28, 2015-19



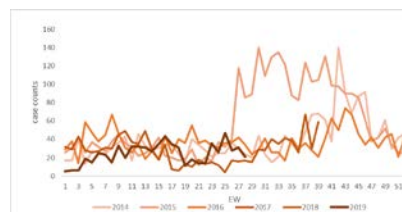
**Graph 2.** Cuba Influenza and RSV distribution, EW 28, 2015-19  
Distribución de virus influenza y VRS, SE 28, 2015-19



**Graph 3.** Cuba: Percent positivity for influenza, EW 28, 2019  
(in comparison to 2010-2018)  
Porcentaje de positividad de influenza, SE 28, 2019  
(en comparación a 2010-2018)



**Graph 4.** Cuba: Number of SARI cases with samples by EW, EW 28, 2014-2019  
Número de casos de IRAG con muestras, por SE, SE 28, 2014-2019

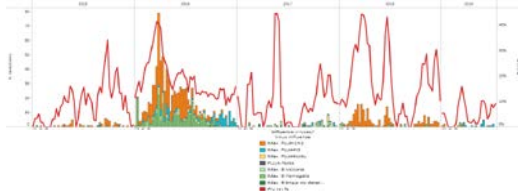


\*To view more epi data, view [here](#). / Para ver más datos epi, vea [aquí](#).

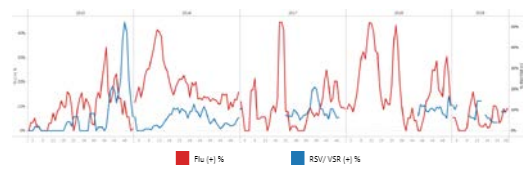
## Dominican Republic / República Dominicana

- During EW 28, 2019 no influenza and RSV detections were reported (Graphs 1 and 2). The percentage of influenza positivity slightly increased and was at seasonal levels (Graph 3). / En la SE 28, 2019 no se reportaron detecciones de influenza ni de VRS (Gráficos 1 y 2). El porcentaje de positividad de influenza aumentó ligeramente y se ubicó en niveles estacionales (Gráfico 3).

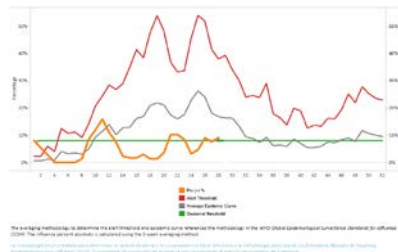
**Graph 1.** Dominican Republic: Influenza virus distribution by EW, EW 28, 2015-19  
Distribución del virus influenza por SE, SE 28, 2015-19



**Graph 2.** Dominican Republic Influenza and RSV distribution by EW, EW 28, 2015-19  
Distribución de los virus influenza y VRS por SE, SE 28, 2015-19



**Graph 3.** Dominican Republic: Percent positivity for influenza, EW 28, 2019 (in comparison to 2010-2018)  
Porcentaje de positividad de influenza, SE 28, 2019 (en comparación a 2010-2018)

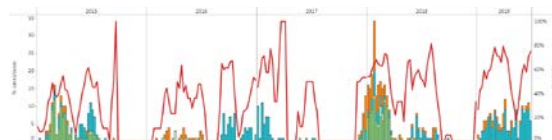


\*To view more epi data, view [here](#). / Para ver más datos epi, vea [aquí](#).

## French Territories / Territorios Franceses

- Since EW 20, 2019 influenza detections increased in French Guiana, a slight decrease is seen in EW 26. influenza percent positivity steeply increased, with influenza A(H3N2) predominance and co-circulation of influenza A(H1N1)pdm09 (Graph 1). During EW 17, in Guadeloupe, ILI case counts decreased after peaking in EW 9 (Graph 2); in Martinique, ILI activity peaked in EW 8, decreased up to EW 11, and increased again during EW 14. A downward trend was observed during EW 17 (Graph 3). Overall, in Saint-Barthelemy, during EW 17, the number of ILI consultations were low (Graph 4). In Saint-Martin, ILI activity remained low (Graph 5). / Dado que las detecciones de influenza de la SE 20, 2019 aumentaron en Guyana Francesa, se observa una ligera disminución en la SE 26. El porcentaje de positividad de influenza aumentó considerablemente, con predominio de influenza A (H3N2) y circulación concurrente de influenza A(H1N1)pdm09 (Gráfico 1). Durante la SE 17, en Guadalupe, el recuento de casos de ETI disminuyó después de alcanzar el máximo en la SE 9 (Gráfico 2); en Martinica, la actividad de la ETI alcanzó su punto máximo en la SE 8, disminuyó hasta la SE 11 y aumentó nuevamente durante la SE 14. Se observó una tendencia a la baja durante la SE 17 (Gráfica 3). En general, en San Bartolomeo, durante la SE 17, el número de consultas por ETI fue bajo (gráfico 4). En San Martín, la actividad de ETI se mantuvo baja (Gráfico 5).

**Graph 1.** French Guiana: Influenza virus distribution by EW, 2015-19. EW 26.  
Distribución de virus influenza por SE, 2015-19. SE 26.

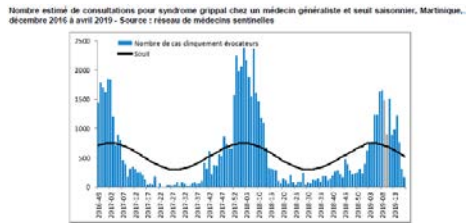


**Graph 2.** Guadeloupe: Number of ambulatory consultations for ILI, EW 17, 2016-2019  
Número de consultas ambulatorias por ETI, SE 17, 2016-2019

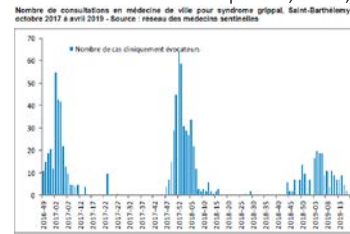




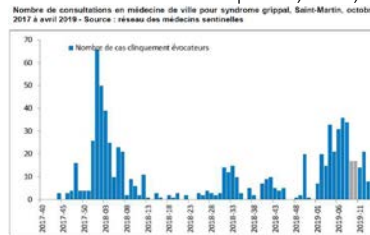
**Graph 3.** Martinique: Number of ambulatory consultations for ILI, EW 17, 2016-2019  
 Numéro de consultations ambulatoires por ETI, SE 17, 2016-2019



**Graph 4.** Saint-Barthelemy: Number of ambulatory consultations for ILI, EW 17, 2016-2019  
 Numéro de consultations ambulatoires por ETI, SE 17, 2016-2019



**Graph 5.** Saint-Martin: Number of ambulatory consultations for ILI, EW 14, 2016-2019  
 Numéro de consultations ambulatoires por ETI, SE 14, 2016-2019

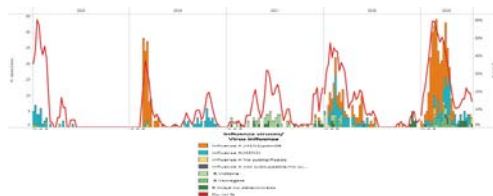


\*To view more epi data, view [here](#). / Para ver más datos epi, vea [aquí](#).

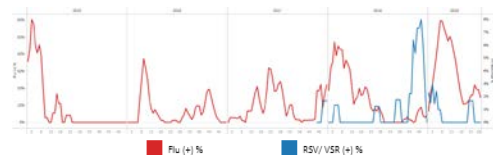
**Jamaica**

- Influenza detections slightly decreased during EW 28 with circulation of influenza A and B viruses. Percent positivity for influenza decreased as well and was at low levels (Graphs 1 and 3). Since EW 24, 2019, no RSV detections have been reported (Graph 2). Percentage of SARI hospitalizations per total hospitalizations decreased compared to the previous weeks (Graph 4). The number of pneumonia and ARI cases remained low compared to previous weeks and were within epidemic levels (Graphs 5 and 6). / Las detecciones de influenza disminuyeron ligeramente durante la SE 28 con la circulación de los virus de influenza A y B. El porcentaje de positividad para la influenza también disminuyó y se ubicó en niveles bajos (Gráficos 1 y 3). Desde la SE 24 de 2019, no se han reportado detecciones de VRS (Gráfico 2). El porcentaje de hospitalizaciones por IRAG del total de hospitalizaciones disminuyó en comparación con las semanas anteriores (Gráfico 4). El número de casos de neumonía y de IRA se mantuvo bajo en comparación con las semanas anteriores y se ubicó dentro de los niveles epidémicos (Gráficos 5 y 6).

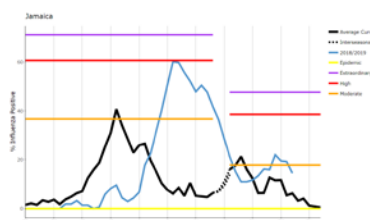
**Graph 1.** Jamaica: Influenza virus distribution by EW, EW 28, 2015-19  
 Distribución de virus influenza por SE, SE 28, 2015-19



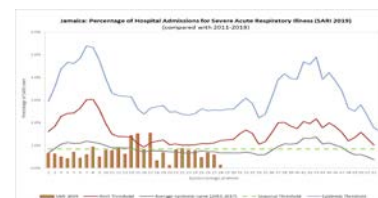
**Graph 2.** Jamaica: Influenza and RSV virus distribution by EW, EW 28, 2015-19  
 Distribución de los virus influenza y VRS por SE, SE 28, 2015-19



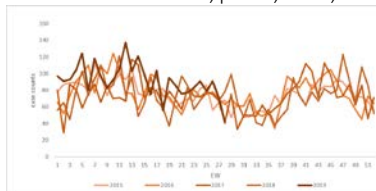
**Graph 3.** Jamaica: Percent positivity for influenza, EW 28, 2019 (in comparison to 2010-2018)  
 Porcentaje de positividad de influenza, SE 28, 2019 (en comparación con 2010-2018)



**Graph 4.** Jamaica: Percentage of SARI hospitalizations per total hospitalizations, EW 28, 2019 (compared to 2011-2018)  
 Porcentaje de hospitalizaciones por IRAG entre el total de hospitalizaciones, SE 28, 2019 (en comparación con 2011-2018)

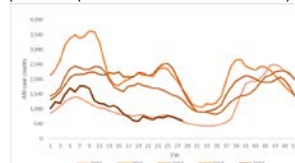


**Graph 5.** Jamaica: Number of pneumonia cases by EW; EW 28, 2015-2019  
 Conteo de casos de neumonía, por SE; SE 28, 2015-2019



\*To view more epi data, view [here](#). / Para ver más datos epi, vea [aquí](#).

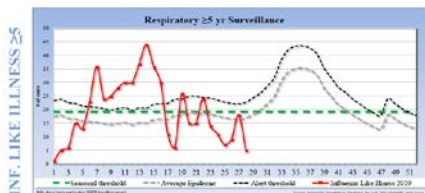
**Graph 6.** Jamaica: Number of ARI cases, EW 28, 2019 (compared to 2011-2018)  
 Numero de casos de IRA, SE 28, 2019 (en comparación con 2011-2018)



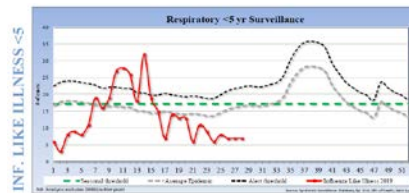
**Saint Lucia**

- In EW 28, ILI cases among those 5 years and older decreased in comparison to the previous week and were below the epidemic levels (Graph 1). ILI activity among those aged less than 5 years peaked in EW 14, fluctuated over the ensuing weeks, and remained stable in EW 28. (Graph 2) / En la SE 28, los casos de ETI entre los de 5 años y mayores disminuyeron en comparación con la semana anterior y estuvieron por debajo de los niveles epidémicos (Gráfico 1). La actividad de ETI entre los menores de 5 años alcanzó su punto máximo en la SE 14, fluctuó durante las semanas siguientes y se mantuvo estable en la SE 28 (gráfico 2).

**Graph 1.** Saint Lucia: ILI cases distribution by EW among the ≥ 5 years of age; EW 28, 2016-2019  
 Número de casos de IRAG por SE; SE 28, 2016-2019



**Graph 2.** Saint Lucia: ILI cases distribution by EW among the < 5 years of age, EW 28, 2019  
 Distribución de ETI por SE entre los <5 años, SE 28, 2019

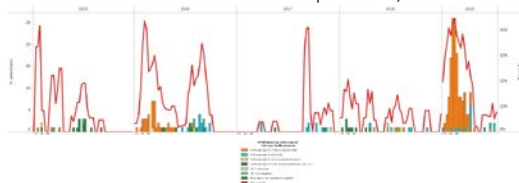


\*To view more epi data, view [here](#). / Para ver más datos epi, vea [aquí](#).

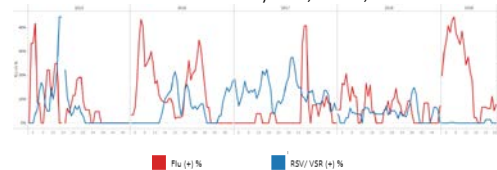
**Suriname**

- In EW 28, 2019, no influenza or RSV detections were reported. Percent positivity for influenza was at low levels of intensity (Graphs 1, 2, and 3). ILI case counts decreased and were at the average epidemic threshold compared to levels from previous seasons for the same period (2016-18) (Graph 4). The counts of SARI hospitalizations per 100 hospitalizations slightly increased in comparison to previous weeks and was at moderate levels (Graph 5). Up to EW 28, 35.5% of ICU admissions were SARI cases. No SARI deaths were reported during EW 28. / En la SE 28 de 2019, no se informaron detecciones de influenza o VRS. El porcentaje de positividad para la influenza se ubicó en niveles de intensidad bajos (Gráficos 1, 2 y 3). Los recuentos de casos de ETI disminuyeron y se ubicaron en el umbral epidémico promedio en comparación con los niveles de temporadas anteriores para el mismo período (2016-18) (Gráfico 4). Los recuentos de hospitalizaciones por IRAG por cada 100 hospitalizaciones aumentaron ligeramente en comparación con las semanas anteriores y se ubicaron en niveles moderados (Gráfico 5). Hasta la SE 28, el 35,5% de las admisiones en la UCI fueron casos de IRAG. No se reportaron muertes por IRAG durante la SE 28.

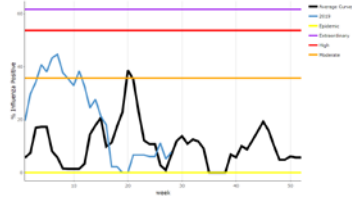
**Graph 1.** Suriname: Influenza virus distribution by EW 28, 2015-19  
 Distribución de virus influenza por SE 28, 2015-19



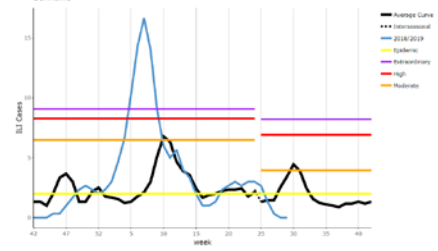
**Graph 2.** Suriname: Influenza and RSV distribution, EW 28, 2015-19  
 Distribución de los virus influenza y VRS, SE 28, 2015 -19



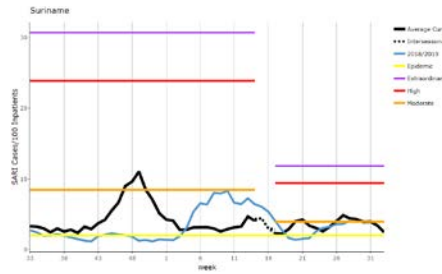
**Graph 3.** Suriname: Percent positivity for influenza, EW 28, 2019  
(in comparison to 2015-2018)  
Porcentaje de positividad de influenza, SE 28, 2019  
(en comparación con 2015-2018)



**Graph 4.** Suriname: Number of ILI cases, by EW, EW 28, 2016-2019  
Número de casos de ETI por SE, SE 28, 2016-2019



**Graph 5.** Suriname: SARI hospitalizations per 100 hospitalizations, by EW; EW 28, 2013-2019  
Porcentaje de hospitalizaciones por IRAG por 100 hospitalizaciones por SE; SE 28, 2013-2019



Caribbean-El Caribe

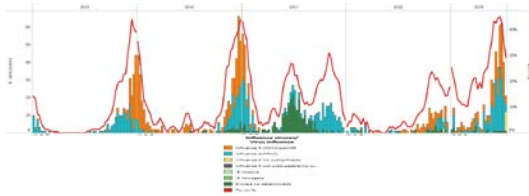
\*To view more epi data, view [here](#). / Para ver más datos epi, vea [aquí](#).

## Central America / América Central

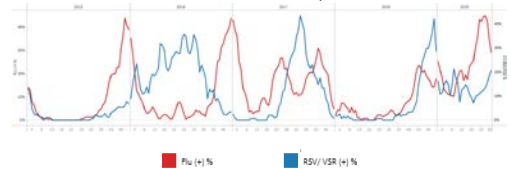
### Costa Rica

- In EW 28, influenza activity decreased, compared to previous weeks with co-circulation of influenza A(H3N2) and influenza A(H1N1)pdm09 (Graph 1). RSV activity increased in comparison with previous weeks (Graph 2). The percentage of positivity for influenza decreased and was at moderate levels of intensity (Graph 3). During EW 28, the number of SARI cases slightly decreased in comparison with the previous week and was within previous seasons' levels (Graph 4). During EW 1 to EW 28, 2019, 147 SARI deaths have been reported, including one in EW 28; twenty-five (17%) deaths were influenza-associated SARI. After peaked in EW 23, ILI activity decreased in EW 28 (Graph 5). / En la SE 28, la actividad de la influenza disminuyó en comparación con las semanas anteriores con la circulación concurrente de influenza A(H3N2) e influenza A(H1N1)pdm09 (Gráfico 1). La actividad de VRS aumentó en comparación con las semanas anteriores (Gráfico 2). El porcentaje de positividad para la influenza disminuyó y se ubicó en niveles moderados de intensidad (Gráfico 3). Durante la SE 28, el número de casos de IRAG disminuyó ligeramente en comparación con la semana anterior y estuvo dentro de los niveles de temporadas anteriores (Gráfico 4). De la SE 1 a la SE 28 de 2019, se han reportado 147 muertes por IRAG, incluida una ocurrida en la SE 28. Veinticinco (17%) fueron muertes por IRAG asociadas a la influenza. Después de alcanzar su punto máximo en la SE 23, la actividad de ETI disminuyó en la SE 28 (Gráfica 5).

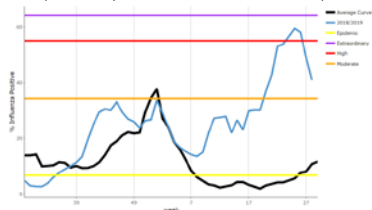
**Graph 1.** Costa Rica: Influenza virus distribution, by EW 28, 2015-19  
Distribución de virus influenza por SE 28, 2015-19



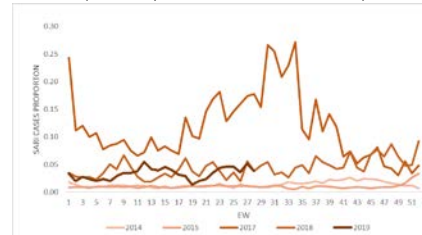
**Graph 2.** Costa Rica: Influenza and RSV distribution, EW 28, 2015-19  
Distribución de los virus influenza y VRS; SE 28, 2015-19



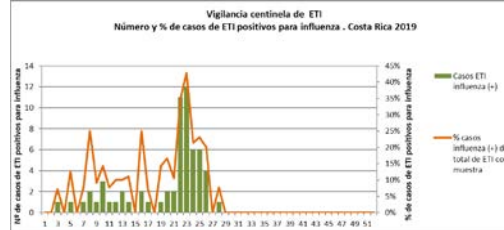
**Graph 3.** Costa Rica: Percent positivity for influenza, EW 28, 2019  
(in comparison to 2011-2018)  
Porcentaje de positividad de influenza, SE 28, 2019  
(en comparación con 2011-2018)



**Graph 4.** Costa Rica: Number of SARI cases, EW 28, 2019  
(compared to 2013-2018)  
Número de casos de IRAG, SE 28, 2019  
(en comparación con 2013-2018)



**Graph 5.** Costa Rica: Number of ILI cases and proportion of influenza-associated ILI cases, EW 28, 2019  
Número de casos de ETI y proporción de casos de ETI asociados a influenza, SE 28, 2019

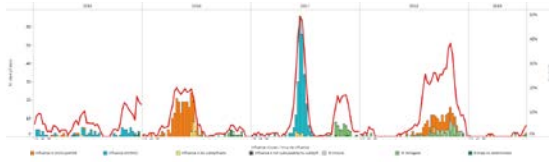


\*To view more epi data, view [here](#). / Para ver más datos epi, vea [aquí](#).

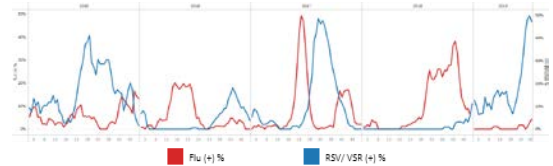
## El Salvador

- During EW 28, 2019, few influenza detections were reported with circulation of influenza A(H1N1)pdm09 and influenza A(H3N2) viruses; the percentage of influenza positivity increased and was at epidemic levels (Graphs 1 and 3). From EW 16 to EW 19 2019, RSV detections trended downward; since EW 19 a steep increase has been observed. RSV cocirculated with adenovirus and parainfluenza viruses (Graphs 2 and 4). In EW 28, the number of SARI cases decreased as compared to previous weeks and was below epidemic levels (Graphs 5). Pneumonia case counts decreased to low levels in comparison with previous weeks (Graph 6). / En la SE 28 de 2019, se informaron pocas detecciones de influenza con circulación de los virus de influenza A(H1N1)pdm09 e influenza A(H3N2); el porcentaje de positividad de influenza aumentó y se ubicó en niveles epidémicos (Gráficos 1 y 3). Desde la SE 16 hasta la SE 19 2019, las detecciones de VRS tuvieron una tendencia descendente; desde la SE 19 se ha observado un fuerte aumento de las detecciones por VRS circulando concurrentemente con el adenovirus y parainfluenza (Gráficos 2 y 4). En la SE 28, el número de casos de IRAG disminuyó en comparación con las semanas anteriores y se ubicó por debajo de los niveles epidémicos (Gráficos 5). Los recuentos de casos de neumonía disminuyeron a niveles bajos en comparación con las semanas anteriores (Gráfico 6).

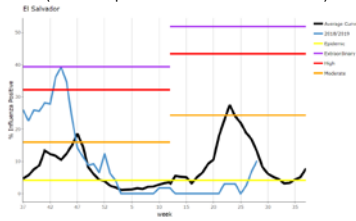
**Graph 1.** El Salvador: Influenza virus distribution, EW 28, 2015-19  
Distribución de virus influenza, SE 28, 2015-19



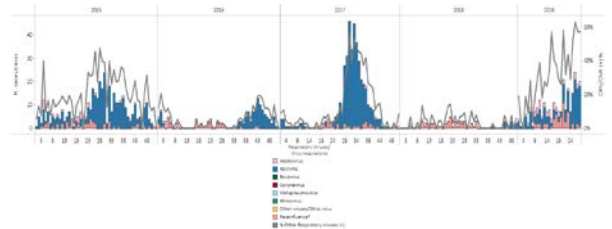
**Graph 2.** El Salvador: Influenza and RSV distribution, EW 28, 2015-19  
Distribución de los virus influenza y VRS, SE 28, 2015-19



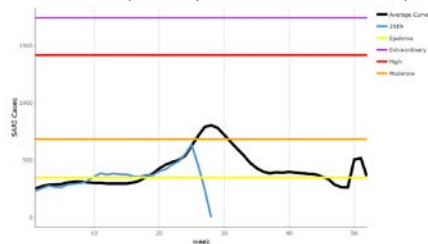
**Graph 3.** El Salvador: Percent positivity for influenza, EW 28, 2019 (in comparison to 2010-2018)  
Porcentaje de positividad de influenza, SE 28, 2019 (en comparación con 2010-2018)



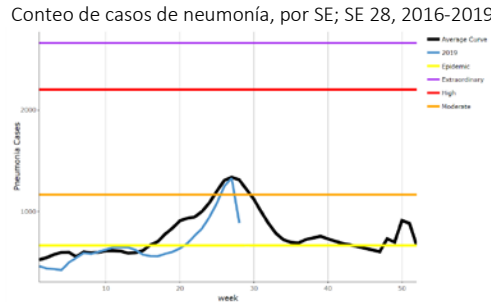
**Graph 4.** El Salvador: RSV and other respiratory viruses distribution, EW 28, 2015-19  
Distribución del VRS y otros virus respiratprios, SE 28, 2015-19



**Graph 5.** El Salvador: Number of SARI cases out of total hospitalizations, by EW, 2019. EW 28 (in comparison to 2016-2018)  
Recuento de casos de IRAG de todas las hospitalizaciones por SE; SE 28, 2019 (en comparación con 2016-2018)



**Graph 6.** El Salvador: Number of pneumonia cases by EW; EW 28, 2016-2019  
Conteo de casos de neumonía, por SE; SE 28, 2016-2019



\*To view more epi data, view [here](#). / Para ver más datos epi, vea [aquí](#).

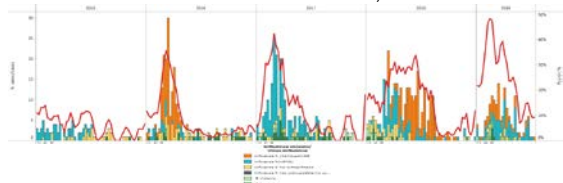
## Guatemala

- In EW 28, few influenza detections were reported with circulation of influenza A(H1N1)pdm09. No detections of RSV were reported (Graphs 1 and 2). Few detections of metapneumovirus were reported. The percentage of influenza positivity decreased below the seasonal threshold (Graph 3), and the percentage of SARI cases among all hospitalizations slightly increased in comparison with the previous week and was below levels of previous seasons (2017-2018) (Graph 4). Overall, during EW 28, pneumonia and ARI activity slightly increased compared to the previous weeks and were within the levels of 2017-18 seasons (Graphs 5 and 6). / En la SE 28, se informaron pocas detecciones de influenza con circulación de influenza A(H1N1)pdm09. No se informaron detecciones de VRS (Gráficos 1 y 2). Se informaron pocas detecciones de metapneumovirus. El porcentaje de positividad de influenza disminuyó por debajo del umbral estacional

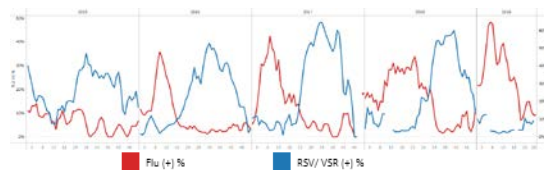


(Gráfico 3), y el porcentaje de casos de IRAG entre todas las hospitalizaciones aumentó ligeramente en comparación con la semana anterior y estuvo por debajo de los niveles de las temporadas anteriores (2017-2018) (Gráfico 4). En general, durante la SE 28, la neumonía y la actividad de IRA aumentaron ligeramente en comparación con las semanas anteriores y estuvieron dentro de los niveles de las temporadas 2017-18 (Gráficos 5 y 6).

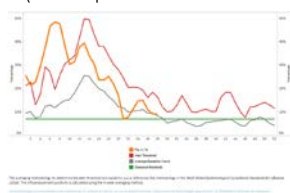
**Graph 1.** Guatemala: Influenza virus distribution EW 28, 2015-19  
Distribución de influenza SE 28, 2015-19



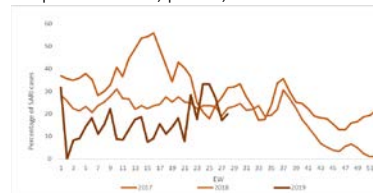
**Graph 2.** Guatemala: Influenza and RSV distribution, EW 28, 2015-19  
Distribución de los virus influenza y VRS; SE 28, 2015-19



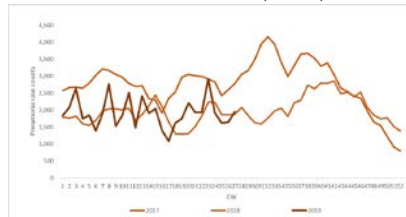
**Graph 3.** Guatemala: Percentage positivity for influenza; EW 28, 2019 (in comparison to 2010-2018)  
Porcentaje de positividad de influenza, SE 28, 2019 (en comparación con 2010-2018)



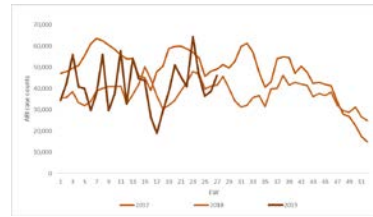
**Graph 4.** Guatemala: % SARI hospitalizations per total hospitalizations, by EW, 2017-2019. EW 28.  
Porcentaje de hospitalizaciones por IRAG entre todas las hospitalizaciones, por SE, 2017-2019. SE 28.



**Graph 5.** Guatemala: Number of pneumonia cases, EW 27, 2017-2019  
Número de casos de neumonía, SE 27, 2017-2019



**Graph 6.** Guatemala: Number of ARI cases, EW 27, 2017-2019  
Número de casos por IRA, SE 27, 2017-2019

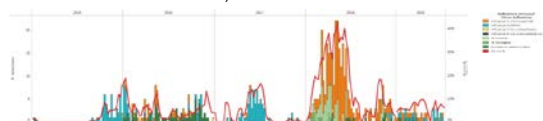


\*To view more epi data, view [here](#). / Para ver más datos epi, vea [aquí](#).

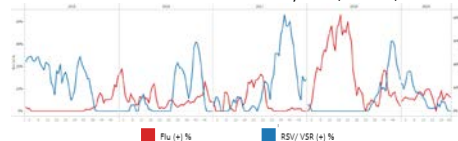
## Honduras

- During EW 28, no detections of influenza or RSV were reported by sentinel sites and influenza percent positivity decreased to low levels of intensity (Graphs 1, 2, and 3). Few detections of adenovirus were reported. In EW 27, SARI case counts decreased compared to previous weeks and remained lower than the levels of the 2012-18 seasons (Graph 4). / En la SE 28, no se reportan detecciones de influenza o de VRS en los sitios centinela y el porcentaje de positividad de la influenza disminuyó a niveles bajos de intensidad (Gráficos 1, 2 y 3). Se informaron pocas detecciones de adenovirus. En la SE 27, los recuentos de casos de IRAG disminuyeron en comparación con las semanas anteriores y se mantuvieron por debajo de los niveles de las temporadas 2012-18 (Gráfico 4).

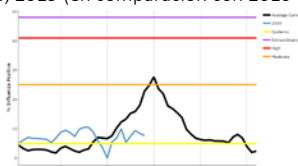
**Graph 1.** Honduras: Influenza virus distribution from sentinel surveillance, EW 28, 2015-19  
Distribución virus de la influenza de la vigilancia centinela, SE 28, 2015-19



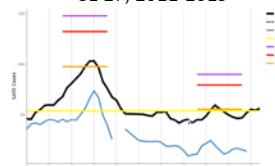
**Graph 2.** Honduras: Influenza and RSV distribution from sentinel surveillance, EW 28, 2015-19  
Distribución de los virus influenza y VRS, SE 28, 2015-19



**Graph 3.** Honduras : Percent positivity for influenza, from sentinel surveillance; EW 28, 2019 (in comparison to 2010-2018)  
Porcentaje de positividad de influenza, de la vigilancia centinela; SE 28, 2019 (en comparación con 2010-2018)



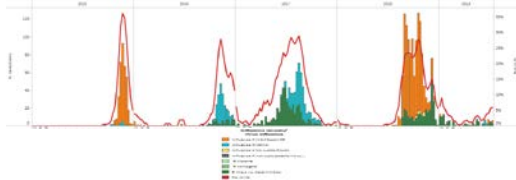
**Graph 4.** Honduras: Number of SARI cases out of total hospitalizations, EW 27, 2011-2019  
Número de casos de IRAG de todas hospitalizaciones; SE 27, 2011-2019



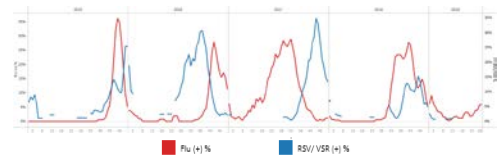
## Nicaragua

- Few detections of influenza were reported during EW 28. Influenza A(H1N1)pdm09 and influenza B viruses co-circulated. Influenza percent positivity slightly increased and was above the average curve. No detections of RSV were reported (Graphs 1, 2 and 3). Parainfluenza and human metapneumovirus co-circulated. SARI case counts decreased compared to the previous week and were above levels seen in the 2016 and 2018 seasons (Graph 4). / Se reportaron pocas detecciones de influenza en la SE 28. Influenza A(H1N1)pdm09 e influenza B circularon de manera concurrente. El porcentaje de positividad de influenza aumentó ligeramente y estuvo por encima de la curva promedio. No se reportaron detecciones de VRS (Gráficos 1, 2 y 3). Los virus parainfluenza y metapneumovirus humano circularon concurrentemente. El recuento de casos de IRAG disminuyó en comparación con la semana anterior y estuvo por encima de los niveles de las temporadas 2016 y 2018 (Gráfico 4).

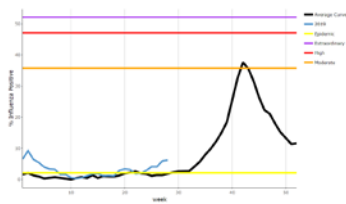
**Graph 1.** Nicaragua. Influenza virus distribution EW 28, 2015-19  
Distribución de influenza SE 28, 2015-19



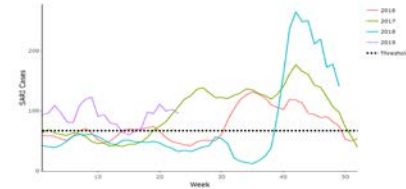
**Graph 2.** Nicaragua: Influenza and RSV distribution, EW 28, 2015-19  
Distribución de los virus influenza y VRS, SE 28, 2015-19



**Graph 3.** Nicaragua : Percent positivity for influenza, from sentinel surveillance; EW 28, 2019 (in comparison to 2010-2018)  
Porcentaje de positividad de influenza de la vigilancia centinela; SE 28, 2019 (en comparación con 2010-2018)



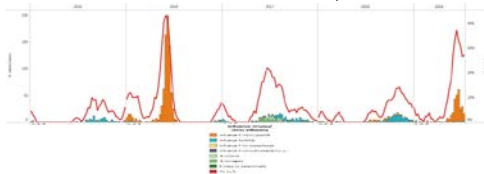
**Graph 4.** Nicaragua: Number of SARI cases, EW 23, 2019 (in comparison to 2016-2017)  
Número de casos de IRAG, SE 23,2019 (en comparación a 2016-2017)



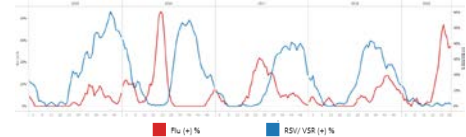
## Panama

- During EW 28, 2019, at the national level, after peaking in EW 24, influenza activity decreased with detections of influenza A(H1N1)pdm09 and influenza B viruses; the percentage of influenza positivity decreased in comparison with EW 26 and was at low intensity (Graphs 1 and 3). In EW 28, few detections of RSV and human metapneumovirus were reported (Graphs 2 and 4). / En la SE 28 de 2019, a nivel nacional, luego de alcanzar un pico en la SE 24, la actividad de influenza disminuyó con detecciones de influenza A(H1N1)pdm09 e influenza B; el porcentaje de positividad de influenza disminuyó en comparación con la SE 27 y fue de baja intensidad (Gráficos 1 y 3). En la SE 28, se informaron pocas detecciones de VRS y de metapneumovirus humano (Gráficos 2 y 4).

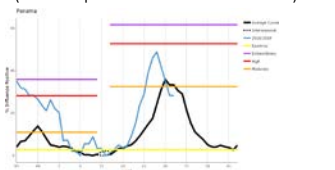
**Graph 1.** Panama: Influenza virus distribution EW 28, 2015-2019  
Distribución de influenza EW 28, 2015-2019



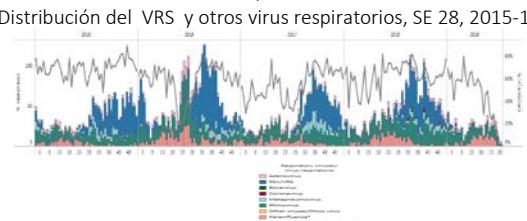
**Graph 2.** Panama: Influenza and RSV distribution, EW 28, 2015-2019  
Distribución de virus influenza y VRS, EW 28, 2015-2019



**Graph 3.** Panama: Percent positivity for influenza, from sentinel surveillance, EW 28, 2019 (in comparison to 2010-2018)  
Porcentaje de positividad de influenza, de la vigilancia centinela, SE 28, 2019 (en comparación con 2010-2018)



**Graph 4.** Panama: RSV and other respiratory viruses distribution, EW 28, 2015-19  
Distribución del VRS y otros virus respiratorios, SE 28, 2015-19

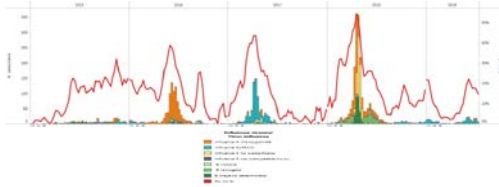


\*To view more epi data, view [here](#). / Para ver más datos epi, vea [aquí](#).

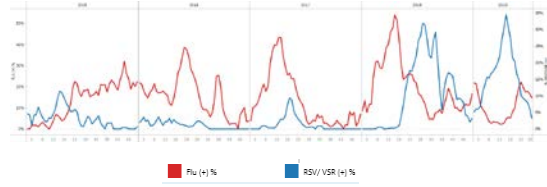
Bolivia

- During EW 28, 2019, few detections of influenza viruses were reported with influenza A(H1N1)pdm09 predominance and co-circulation of influenza A(H3N2); influenza percent positivity decreased compared to previous weeks. No detections of RSV were reported (Graphs 1, 2, and 3). In EW 28, the percentage of SARI cases slightly increased compared to the previous week and was within the levels observed in the 2017-2018 seasons for the same period (Graph 4). / En la SE 28 de 2019, se informaron pocas detecciones de virus de influenza con predominio de influenza A(H1N1)pdm09 y circulación concurrente de influenza A(H3N2); el porcentaje de influenza positivo disminuyó en comparación con las semanas anteriores. No se informaron detecciones de VRS (Gráficos 1, 2 y 3). En la SE 28, el porcentaje de casos de IRAG aumentó ligeramente en comparación con la semana anterior y estuvo dentro de los niveles observados en las temporadas 2017-2018 para el mismo período (Gráfico 4).

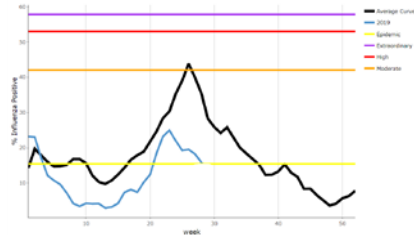
**Graph 1.** Bolivia. Influenza virus distribution EW 28, 2015-19  
Distribución de influenza SE 28, 2015-19



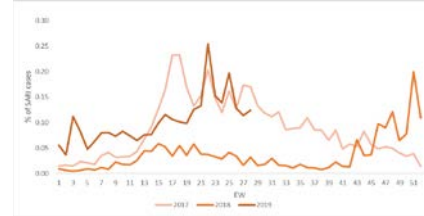
**Graph 2.** Bolivia: Influenza and RSV distribution, EW 28, 2015-19  
Distribución de los virus influenza y VRS, SE 28, 2015-19



**Graph 3.** Bolivia (La Paz): Percent positivity for influenza, EW 28, 2018-19 (in comparison to 2010-2018)  
Porcentaje de positividad de influenza, SE28, 2018-19 (en comparación con 2010-2018)



**Graph 4.** Bolivia: Percentage of SARI cases out of total hospitalizations, EW 28, 2019  
Porcentaje de casos IRAG del total de hospitalizaciones, SE 28, 2019

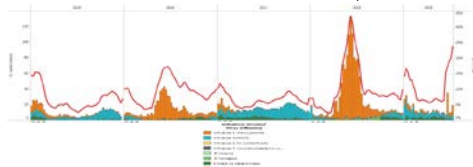


\*To view more epi data, view [here](#). / Para ver más datos epi, vea [aquí](#).

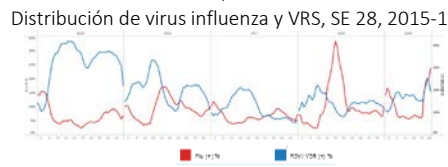
Colombia

- In EW 28, influenza detections slightly increased with influenza A(H1N1)pdm09 predominance; influenza A(H3N2) and influenza B viruses co-circulated. Influenza percent positivity decreased compared to the previous week and was above the seasonal threshold (Graphs 1 and 3). RSV activity continued at moderate levels compared with previous weeks, adenovirus and parainfluenza co-circulated (Graph 2). In EW 28, at the national level, downward trends in SARI, pneumonia-related hospitalizations and ARI case counts continued (Graph 4, 5 and 6) / En la SE 28, las detecciones de influenza aumentaron ligeramente con predominio de influenza A(H1N1)pdm09; influenza A(H3N2) e influenza B circularon concurrentemente. El porcentaje de positividad de influenza disminuyó en comparación con la semana anterior y estuvo por encima del umbral estacional (Gráficos 1 y 3). La actividad del VRS se mantuvo en niveles moderados en comparación con las semanas anteriores, el adenovirus y parainfluenza circularon simultáneamente (Gráfico 2). En la SE 28 a nivel nacional, continuó la tendencia descendente de IRAG, hospitalizaciones relacionadas con neumonía y recuento de casos de IRA (Gráficos 4, 5 y 6)

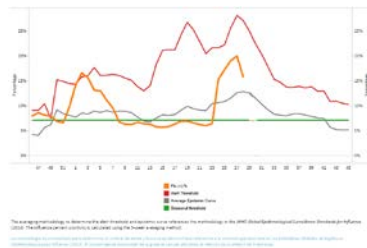
**Graph 1.** Colombia. Influenza virus distribution EW 28, 2015-19  
Distribución de virus influenza SE 28, 2015-19



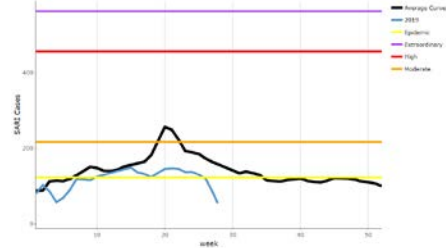
**Graph 2.** Colombia: Influenza and RSV distribution, EW 28, 2015-19  
Distribución de virus influenza y VRS, SE 28, 2015-19



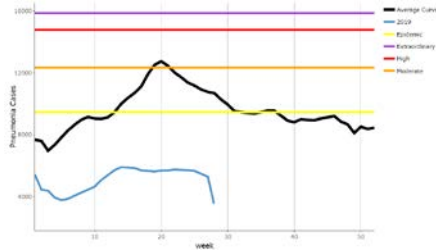
**Graph 3.** Colombia: Percent positivity for influenza, EW 28, 2018-19  
(in comparison to 2010-2018)  
Porcentaje de positividad de influenza, SE 28, 2018-19 (in  
comparación to 2010-2018)



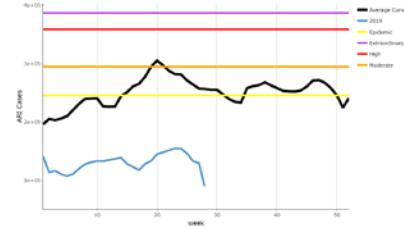
**Graph 4.** Colombia: Number of SARI cases, EW 28, 2019  
(in comparison to 2013-2018)  
Número de casos de IRAG, SE 28, 2019 (en comparación a  
2013-2018)



**Graph 5.** Colombia: Number of pneumonia-related hospitalizations,  
by EW, EW 28 2019 (in comparison with 2015-18)  
Número de hospitalizaciones asociadas a neumonía, por SE,  
SE 28 de 2019 (en comparación con 2015-18)



**Graph 6.** Colombia: Number of ARI cases, EW 28, 2019  
(from all consultations), in comparison with 2015-18  
Número de casos de IRA, SE 28, 2019 (de todas consultas),  
en comparación con 2015-18

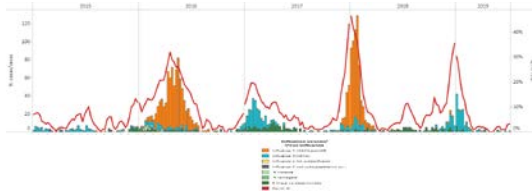


\*To view more epi data, view [here](#). / Para ver más datos epi, vea [aquí](#).

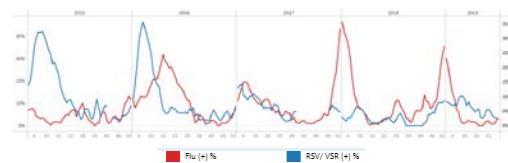
## Ecuador

- In EW 27, few detections of influenza were reported with circulation of influenza B. Percent positivity for influenza remained the same in comparison with the previous week and was below epidemic levels. No RSV detections were reported (Graphs 1, 2 and 3). Few detections of parainfluenza virus were reported. In EW 18, the percentage of SARI cases per total hospitalizations trended downward (Graph 4). / En la SE 27, se informaron pocas detecciones de influenza con la circulación de influenza B. El porcentaje de positividad para la influenza permaneció igual en comparación con la semana anterior y estuvo por debajo de los niveles epidémicos. No se reportaron detecciones de VRS (Gráficos 1, 2 y 3). Se informaron pocas detecciones de virus de parainfluenza. En la SE 18, el porcentaje de casos de IRAG entre el total de hospitalizaciones tuvo una tendencia hacia la baja (Gráfico 4).

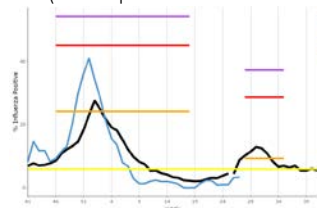
**Graph 1.** Ecuador: Influenza virus distribution from SARI  
sentinel cases by EW 27, 2015-19  
Distribución de virus influenza de casos de IRAG centinela  
SE 27, 2015-19



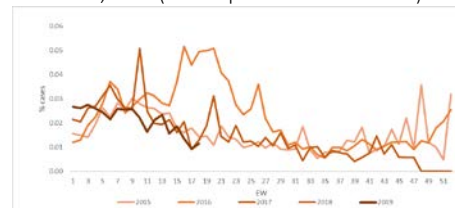
**Graph 2.** Ecuador: Influenza and RSV distribution from SARI  
sentinel cases, EW 27, 2015-19  
Distribución de los virus influenza y VRS de casos de IRAG  
centinela, SE 27 2015-19



**Graph 3.** Ecuador: Percent positivity for influenza, EW 27, 2019  
(in comparison to 2011-2018)  
Porcentaje de positividad de influenza, SE 27, 2019  
(en comparación con 2011-2018)



**Graph 4.** Ecuador: Percentage of SARI cases per total  
hospitalizations, EW 18, 2019 (as compared to 2015-19)  
Porcentaje de casos de IRAG por el total de hospitalizaciones,  
SE 18, 2019 (en comparación con 2015-19)

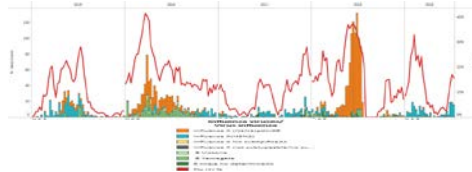


\*To view more epi data, view [here](#). / Para ver más datos epi, vea [aquí](#).

**Peru**

- During EW 28, influenza activity slightly decreased in comparison with the previous week with co-circulation of influenza A(H3N2), influenza A(H1N1)pdm09 and influenza B viruses (Graph 1). No RSV detections were reported this week. Few detections of rhinovirus were reported (Graph 2). Percent positivity for influenza increased compared to the previous weeks and was above the seasonal threshold (Graph 3). At the national level, SARI case counts among all hospitalizations decreased and were low for the period as compared to seasons 2015-2018 (Graph 4). At the national level, pneumonia cases trended downward and were at the seasonal level (Graph 5). ILI case counts remained low during EW 26 (Graph 6). / En la SE 28, las detecciones de influenza ligeramente disminuyeron en comparación con la semana anterior con la circulación concurrente de los virus de influenza A(H3N2), influenza A(H1N1)pdm09 y de influenza B (Gráfico 1). No se reportaron detecciones de VRS. Se reportaron pocas detecciones de rinovirus (gráfico 2). El porcentaje de positividad para influenza aumentó en comparación con las semanas anteriores y se ubicó por encima del umbral estacional (Gráfico 3). A nivel nacional, el número de casos de IRAG entre todas las hospitalizaciones disminuyó y fue bajo durante el período en comparación con las temporadas 2015-2018 (Gráfico 4). A nivel nacional, los casos de neumonía tuvieron una tendencia a la baja y estuvieron en el nivel estacional (Gráfico 5). Los recuentos de casos de ETI se mantuvieron bajos durante la SE 26 (Gráfico 6).

**Graph 1.** Peru: Influenza virus distribution by EW 28, 2015-19  
Distribución de virus influenza por SE 28, 2015-19



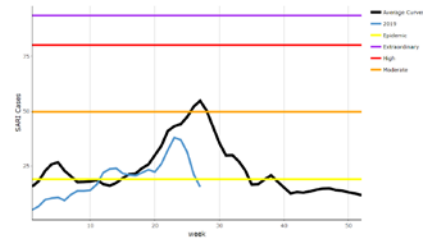
**Graph 2.** Peru: Influenza and RSV distribution, EW 28, 2015-19  
Distribución de virus influenza y VRS, SE 28, 2015-19



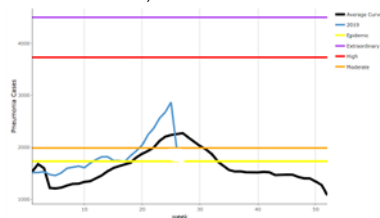
**Graph 3.** Peru: Percent positivity for influenza, EW 28, 2019  
(in comparison to 2010-2018)  
Porcentaje de positividad de influenza, EW 28, 2019  
(en comparación con 2010-2018)



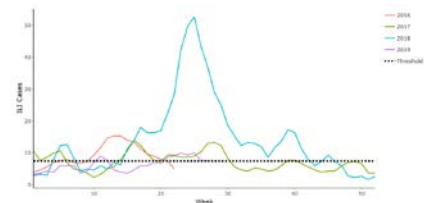
**Graph 4.** Peru: Number of SARI cases, by EW 26, 2015-2019  
Número de casos IRAG, SE 26, 2015-2019



**Graph 5.** Peru: Pneumonia cases in children under 5 years,  
EW 26, 2016-2019  
Casos de neumonía en niños menores de 5 años,  
SE 26, 2016-2019



**Graph 6.** Peru: Number of ILI cases, EW 26, 2019,  
in comparison to 2016-18  
Número de casos ETI, SE 26, 2019, en comparación con 2016-18



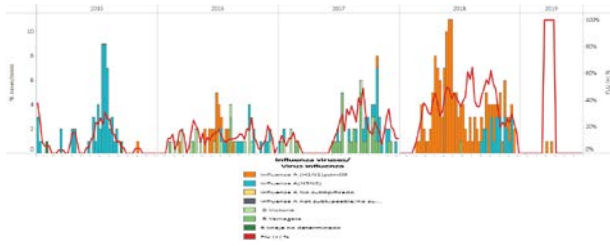
\*To view more epi data, view [here](#). / Para ver más datos epi, vea [aquí](#).

**Venezuela**

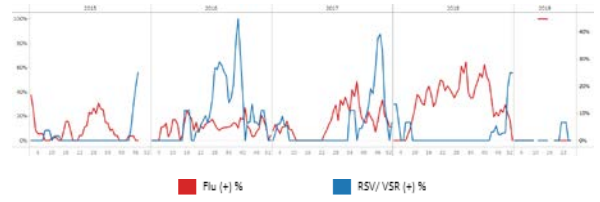
- Since EW 14, 2019 no detections of influenza have been reported (Graph 1). After a few detections during EW 21-23, no RSV activity has been reported in 2019 (Graph 2). / Desde la SE 14 de 2019 no se reportaron detecciones de influenza (Gráfico 1). Después de algunas detecciones en las SE 21-23, no se ha reportado actividad de VRS en el 2019 (Gráfico 2).



**Graph 1.** Venezuela: Influenza virus distribution by EW 26, 2015-19  
Distribución de virus influenza por SE 26, 2015-19



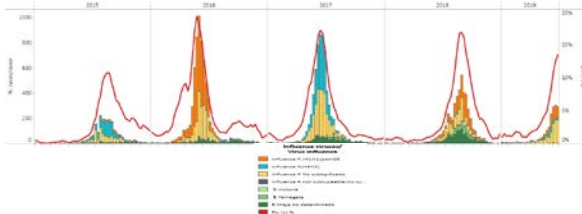
**Graph 2.** Venezuela: Influenza and RSV distribution, EW 26, 2015-19  
Distribución de virus influenza y VSR, SE 26, 2015-19



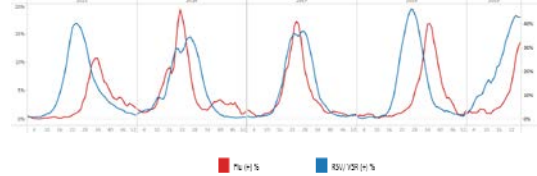
Argentina

- During EW 26, an increase in influenza activity was reported with circulation of influenza B (Graphs 1 and 2). From EW 4 to EW 24, RSV positivity trended upward and has decreased since EW 25 (Graphs 2 and 3). SARI activity measured by hospitalizations is at moderate levels (Graph 4). During the 2019 season, no influenza-associated SARI deaths were reported. / Durante la SE 26, se informó un aumento en la actividad de la influenza con la circulación de influenza B (Gráficos 1 y 2). Desde la SE 4 y hasta la SE 24, la positividad del VRS tuvo una tendencia a aumentar para disminuir a partir de la SE 25 (Gráficos 2 y 3). La actividad SARI medida por hospitalizaciones se encuentra en niveles moderados (Gráfico 4). Durante la temporada 2019, no se reportaron muertes por IRAG asociadas a la influenza

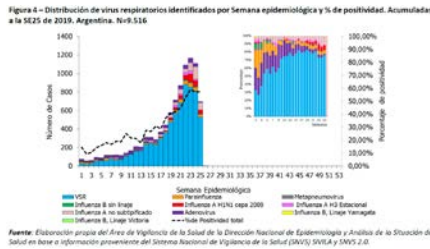
**Graph 1.** Argentina - Influenza virus distribution by EW 26, 2015-2019  
Distribución de virus influenza por SE 26, 2015-2019



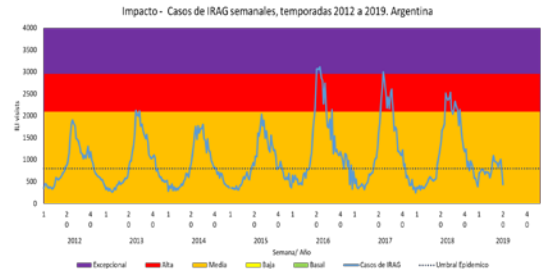
**Graph 2.** Argentina - Influenza and RSV distribution by EW 26, 2015-2019  
Distribución de virus influenza y VRS, SE 26, 2015-2019



**Graph 3.** Argentina: RSV and other respiratory viruses distribution, EW 25, 2015-19  
Distribución del VRS y otros virus respiratorios, SE 25, 2015-19



**Graph 4.** Argentina: SARI case counts, by EW, 2012-2019, EW 22  
Número de casos semanales, 2012-2019, SE 22

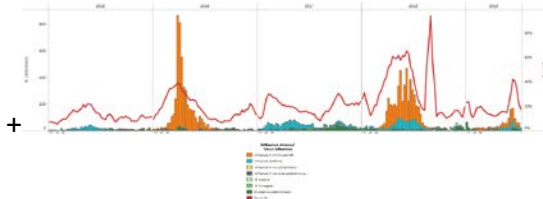


\*To view more epi data, view [here](#). / Para ver más datos epi, vea [aquí](#).

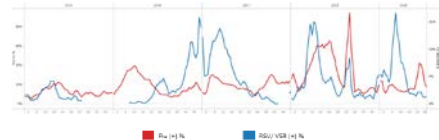
Brazil

- After peaking in EW 24, influenza detections have decreased, with co-circulation of influenza A(H3N2), influenza A(H1N1)pdm09 and influenza B viruses (Graphs 1 and 2). No RSV detections were reported during EW 28 (Graph 2). Few detections of adenovirus were reported. SARI cases decreased to seasonal levels (Graph 3). ILI activity at sentinel sites increased compared to previous weeks and remained within levels of previous seasons (Graph 4). / Después de un pico en la SE 24, las detecciones de influenza disminuyeron, se observó la circulación concurrente de los virus influenza A(H3N2) y A(H1N1)pdm09 (Gráficos 1 y 3). No se reportaron detecciones de VRS durante la SE 28 (Gráfico 2). Se reportaron pocas detecciones de adenovirus. Los casos de IRAG disminuyeron a niveles estacionales (Gráfico 3). La actividad de ETI en los sitios centinela aumentó en comparación con las semanas anteriores y se mantuvo dentro de los niveles de temporadas previas (Gráfico 4).

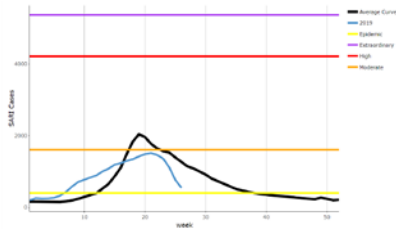
**Graph 1.** Brazil- All NICs. Influenza virus distribution by EW 28, 2015-2019  
Distribución de virus influenza por SE 28, 2015-2019



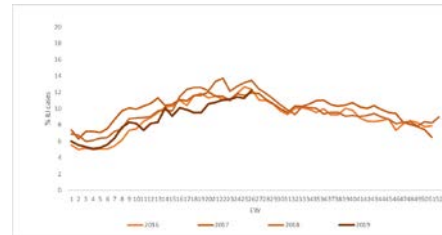
**Graph 2.** Brazil – All NICs: Influenza and RSV distribution, EW 28, 2015-2019  
Distribución de los virus influenza y VRS, SE 28, 2015-2019



**Graph 3.** Brazil – SARI case counts, EW 26, 2019 in comparison to 2016-18  
 Porcentaje de casos de ETI, SE 26, 2019, en comparación con 2016-18



**Graph 4.** Brazil – Percent of ILI cases, EW 26, 2019 in comparison to 2016-18  
 Porcentaje de casos de ETI, SE 26, 2019, en comparación con 2016-18

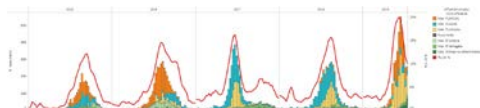


\*To view more epi data, view [here](#). / Para ver más datos epi, vea [aquí](#).

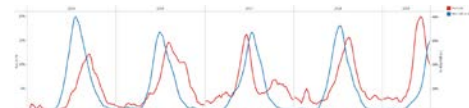
### Chile

- After peaking during EW 24, influenza activity continues to decrease; likewise, the percentage of influenza positivity decreased and remained at moderate levels of intensity. Co-circulation of influenza A(H1N1)pdm09, influenza A(H3N2) and influenza B, Yamagata lineage was reported (Graphs 1 and 3). RSV percent positivity steadily trended upward, comparable to levels reported in the 2015-18 seasons for the same period (Graph 2). ILI visits decreased compared to previous weeks and were at low levels of intensity (Graph 4). Overall, at the national level, SARI case counts decreased compared to previous weeks and were at average epidemic curve levels from seasons 2015-18. SARI cases were associated with RSV and influenza A(H1N1)pdm09 (Graph 5). Percentage of pneumonia visits in hospital ERs, slightly increased in comparison to previous weeks and was at average epidemic curve levels from seasons 2013-18 (Graph 6).  
 / Después de alcanzar su punto máximo durante la SE 24, la actividad de la influenza disminuyó; del mismo modo, el porcentaje de positividad de la influenza disminuyó y se mantuvo en niveles moderados de intensidad; se reporto la circulación concurrente de los virus influenza A(H1N1)pdm09, influenza A(H3N2) e influenza B, linaje Yamagata (Gráficos 1 y 3). El porcentaje de positividad del VRS tuvo una tendencia constante hacia arriba, comparable a los niveles informados en las temporadas 2015-2018 para el mismo período (Gráfico 2). Las visitas por ETI disminuyeron en comparación con las semanas anteriores y tuvieron niveles de intensidad bajos (Gráfico 4). En general, a nivel nacional, los recuentos de casos de IRAG disminuyeron en comparación con las semanas anteriores y se ubicaron en los niveles promedio de la curva epidémica de las temporadas 2015-18. Los casos de IRAG se asociaron con VSR e influenza A(H1N1)pdm09 (Gráfico 5). El porcentaje de visitas de neumonía en las salas de emergencia de los hospitales aumentó ligeramente en comparación con las semanas anteriores y se ubicó en los niveles promedio de la curva epidémica de las temporadas 2013-18 (Gráfico 6).

**Graph 1.** Chile: Influenza virus distribution by EW 28, 2015-19  
 Distribución de virus de influenza por SE 28, 2015-19

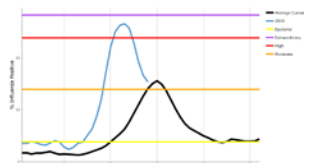


**Graph 2.** Chile: Influenza and RSV distribution, EW 28, 2015-19  
 Distribución de los virus influenza y VRS, SE 28, 2015-19



**Graph 3.** Chile: Baseline for the percent positivity for influenza, EW 28, 2019 (in comparison to 2010-2018)

Linea basal para el porcentaje de positividad de influenza, SE 28 2019 (en comparación con 2010-2018)



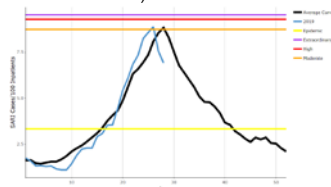
**Graph 4.** Chile: Percentage of ILI visits in hospital ER. EW 28, 2019 (in comparison to 2013-2018)

Porcentaje de consultas por ETI en urgencias hospitalarias, SE 28, 2019 (en comparación con 2013-2018)



**Graph 5.** Chile: Number of SARI cases per 100 hospitalizations, EW 28, 2015-2019

Número de casos por IRAG por 100 hospitalizaciones totales, SE 28, 2015-2019



**Graph 6.** Chile. Percentage of pneumonia visits in hospital ER. EW 28, 2019 (in comparison 2013-18)

Número de casos de ETI, SE 27, 2019, en comparación con 2013-18

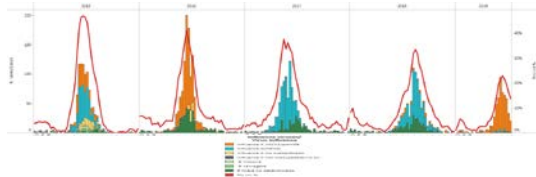


\*To view more epi data, view [here](#). / Para ver más datos epi, vea [aquí](#).

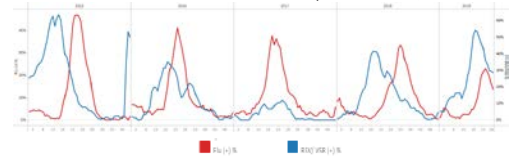
## Paraguay

- In EW 28, 2019, influenza detections decreased in comparison to previous weeks and the percentage of positivity decreased to low levels of intensity (Graphs 1 and 3); after a peak in EW 19, RSV positivity trended to decrease (Graphs 2 and 4). During EW 28, SARI case counts slightly increased compared with previous week, with moderate activity (Graph 5). Young children, especially those aged less than 6 months, and the elderly were the most affected age groups. Moderate transmissibility was observed, and the percentage of ILI consultations decreased and were at low levels on intensity (Graph 6). / En la SE 28 de 2019, las detecciones de influenza disminuyeron en comparación con las semanas anteriores y el porcentaje de positividad disminuyó a niveles bajos de intensidad (Gráficos 1 y 3); después de un pico en la SE 19, la positividad de VRS tendió a disminuir (Gráficos 2 y 4). Durante la SE 28, los recuentos de casos de IRAG aumentaron ligeramente en comparación con la semana anterior, con actividad moderada (Gráfico 5). Los niños pequeños, especialmente los menores de 6 meses, y los ancianos fueron los grupos de edad más afectados. Se observó una transmisibilidad moderada y el porcentaje de consultas por ETI disminuyó y se ubicó en niveles bajos en intensidad (Gráfico 6).

**Graph 1.** Paraguay: Influenza virus distribution EW 28, 2015-19  
Distribución de virus de influenza, SE 28, 2015-19

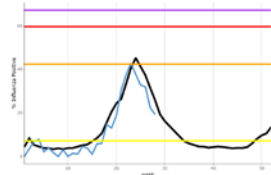


**Graph 2.** Paraguay: Influenza and RSV distribution, EW 28, 2015-19  
Distribución de los virus influenza y VRS, SE 28, 2015-19

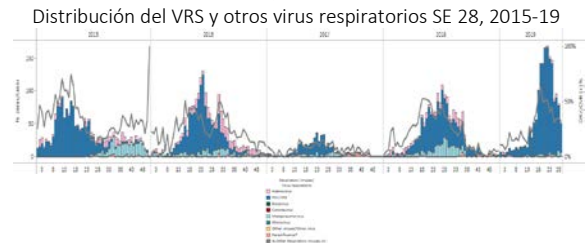


**Graph 3.** Paraguay: SARI sentinel sites: Baseline for the percent positivity for influenza, EW 28, 2019  
(in comparison to 2011-2018)

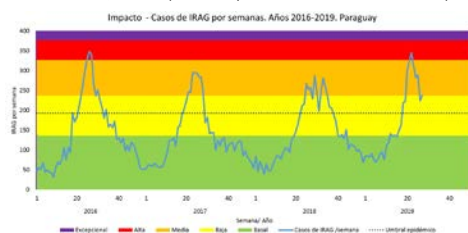
Linea basal para el porcentaje de positividad de influenza, SE 28, 2019 (en comparación con 2011-2018)



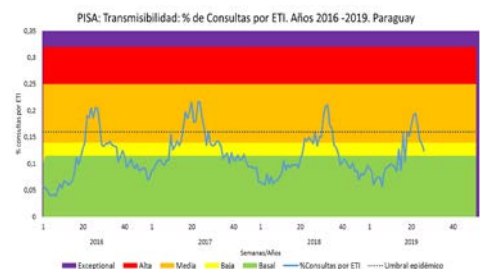
**Graph 4.** Paraguay: RSV and other respiratory viruses distribution, EW 28, 2015-19  
Distribución del VRS y otros virus respiratorios SE 28, 2015-19



**Graph 5.** Paraguay: Number of SARI cases per EW, EW 28, 2019  
(as compared to 2016-2018)  
Número de casos de IRAG por SE,  
SE 28, 2019 (en comparación con 2016-2018)



**Graph 6.** Paraguay: Percentage of ILI cases, EW 28, 2016-19  
Porcentaje de casos de ETI, SE 28, 2016-19

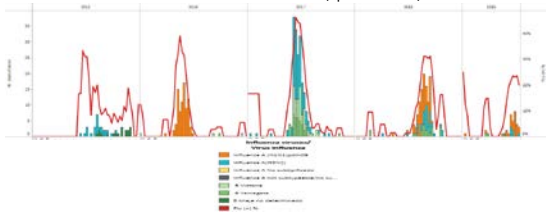


\*To view more epi data, view [here](#). / Para ver más datos epi, vea [aquí](#).

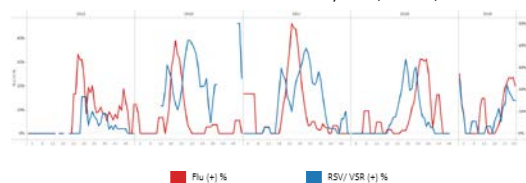
## Uruguay

- During EW 28, influenza activity decreased showing a downward trend, in comparison to the previous weeks with circulation of influenza A(H1N1)pdm09. The percent positivity slightly decreased in comparison to previous weeks and was at seasonal levels (Graphs 1 and 3). RSV detections remained the same in comparison with the previous week (Graph 2). The percentage of SARI cases steadily increased, peaked in EW 25 and trended downward (Graph 4). / En la SE 28, la actividad de influenza disminuyó mostrando una tendencia a la baja, en comparación con las semanas anteriores con circulación de influenza A(H1N1)pdm09. El porcentaje de positividad disminuyó ligeramente en comparación con las semanas anteriores y se ubicó en niveles estacionales (Gráficos 1 y 3). Las detecciones de VRS se mantuvieron iguales en comparación con la semana anterior (Gráfico 2). El porcentaje de casos de IRAG aumentó de manera constante, alcanzó su punto máximo en la SE 25 y tuvo una tendencia descendente (gráfico 4).

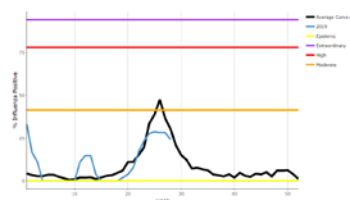
**Graph 1.** Uruguay: Influenza virus distribution by EW 28, 2015-19  
Distribución de virus de influenza, por SE 28, 2015-19



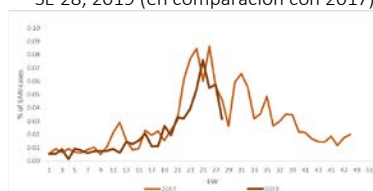
**Graph 2.** Uruguay: Influenza and RSV distribution, EW 28, 2015-19  
Distribución de los virus influenza y VRS, SE 28, 2015-19



**Graph 3.** Uruguay: Percent positivity for influenza, EW 28, 2019  
(in comparison to 2010-2018)  
Porcentaje de positividad de influenza, SE 28, 2019  
(en comparación con 2010-2018)



**Graph 4.** Uruguay: Percentage of SARI cases per total hospitalizations, EW 28, 2019 (as compared to 2017)  
Porcentaje de casos de IRAG por el total de hospitalizaciones, SE 28, 2019 (en comparación con 2017)



\*To view more epi data, view [here](#). / Para ver más datos epi, vea [aquí](#).

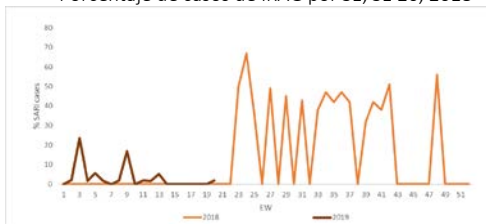


More country information / Más información de países

Cayman Islands / Islas Caiman

- During EW 20, the percentage of SARI cases was low, with few cases reported (Graph 1). / En la SE 20 el porcentaje de casos de IRAG fue bajo con pocos casos reportados (Gráfico 1).

**Graph 1.** Cayman Island/ Islas Caiman: Percentage of SARI cases by EW, EW 20, 2018. Porcentaje de casos de IRAG por SE, SE 20, 2018

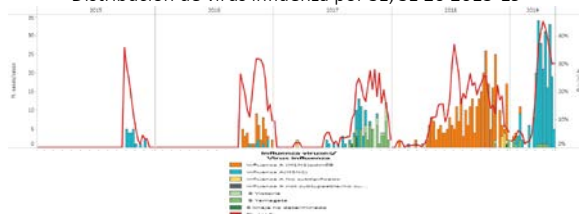


More country information/ Más información

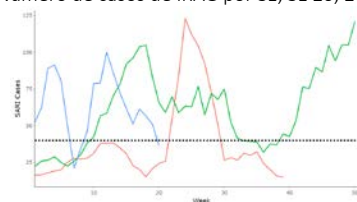
Haiti

- During EW 19, influenza activity increased (Graph 1). Since EW 12, the number of SARI hospitalizations decreased and was lower than during the 2018 season for the same period (Graph 2). / En la SE 19 la actividad de influenza aumentó (Gráfico 1). Desde la SE 12, el número de hospitalizaciones por IRAG disminuyó y fue mejor que durante la temporada 2018 para el mismo período (Gráfico 2).

**Graph 1.** Haiti: Influenza virus distribution by EW, EW 20, 2015-19. Distribución de virus influenza por SE, SE 20 2015-19



**Graph 2.** Haiti: Number of SARI cases, EW 20, 2017-2019. Número de casos de IRAG por SE, SE 20, 2017-2019

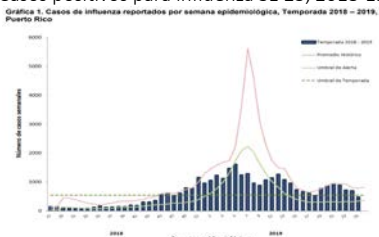


\*To view more epi data, view [here](#). / Para ver más datos epi, vea [aquí](#).

Puerto Rico

- In EW 25, 2019, the number of influenza-positive cases slightly decreased compared to the previous week and was below the seasonal threshold; influenza A(H3N2) predominated (Graph 1). The municipality with the highest influenza incidence rate was Villalba (Graph 2). / En la SE 25 de 2019, el número de casos positivos de influenza disminuyó ligeramente en comparación con la semana anterior y estuvo por debajo del umbral de temporada; predominó influenza A(H3N2) (Gráfico 1). El municipio con la mayor tasa de incidencia de influenza fue Villalba (Gráfico 2).

**Graph 1.** Puerto Rico: Influenza-positive cases by EW 25, 2018-19. Casos positivos para influenza SE 25, 2018-19



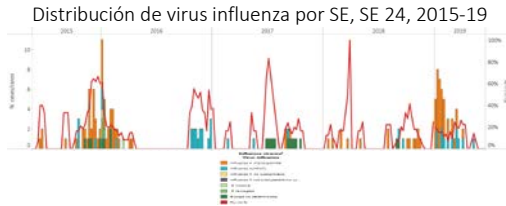
**Graph 2.** Puerto Rico: Influenza incidence rates by municipality, EW 25, 2019. Tasas de incidencia de influenza por municipio, SE 24, 2019



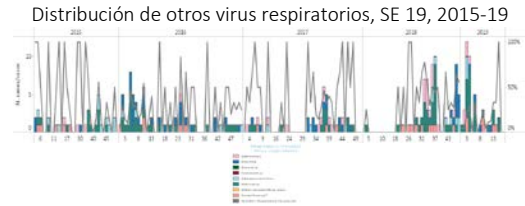
## Trinidad & Tobago

- During EW 24, 2019, decreased influenza detections were reported, influenza A(H3N2) and influenza A(H1N1)pdm09 co-circulated (Graph 1). RSV and rhinovirus co-circulated in recent weeks (Graph 2). The percentage of SARI cases decreased during EW 17, compared to previous weeks (Graph 3). / En la SE 24 de 2019, se reportaron disminuciones en las detecciones de influenza, influenza A(H3N2) e influenza A(H1N1)pdm09 circularon concurrentemente (Gráfico 1). El VRS y el rinovirus circularon en las últimas semanas (Gráfico 2). El porcentaje de casos de IRAG disminuyó durante la SE 17, comparado con las semanas previas (Gráfico 3).

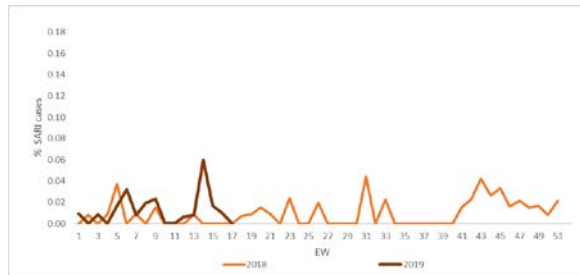
**Graph 1.** Trinidad & Tobago: Influenza virus distribution by EW, EW 24, 2015-19



**Graph 2.** Trinidad & Tobago. Other respiratory virus distribution, EW 19, 2015-19



**Graph 3.** Trinidad & Tobago: Percentage of SARI cases by EW, EW 17, 2018.  
Porcentaje de casos de IRAG por SE, SE 20, 2018



This report summarizes the epidemiological and virologic features of the laboratory-confirmed human cases of infection with influenza viruses of animal origin from 13 February 2019 to 9 April 2019.

1. **New infections**<sup>1</sup>: Since the previous update on 10 May 2019, one new human infection with an influenza A(H1N1) variant virus was reported.
2. **Risk assessment**: The overall public health risk from currently known influenza viruses at the human-animal interface has not changed, and the likelihood of sustained human-to-human transmission of these viruses remains low. Further human infections with viruses of animal origin are expected.
3. **IHR compliance**: All human infections caused by a new influenza subtype are required to be reported under the International Health Regulations (IHR, 2005).<sup>2</sup> This includes any influenza A virus that has demonstrated the capacity to infect a human and its haemagglutinin gene (or protein) is not a mutated form of those, i.e. A(H1) or A(H3), circulating widely in the human population. Information from these notifications is critical to inform risk assessments for influenza at the human-animal interface.

Este reporte resume las características epidemiológicas y virológicas de los casos confirmados en laboratorio de infección por virus influenza de origen animal del 11 de mayo al 24 de junio de 2019.

1. **Nuevas infecciones**: desde la actualización anterior del 10 de mayo de 2019, se reportó una nueva infección en humanos con una variante del virus de la influenza A(H1N1).
2. **Evaluación de riesgo**: el riesgo general para la salud pública de los virus de influenza actualmente conocidos en la interfaz entre humanos y animales no ha cambiado, y la probabilidad de transmisión sostenida de estos virus sigue siendo baja. Se esperan más infecciones humanas con virus de origen animal.
3. **Cumplimiento del RSI**: todas las infecciones humanas causadas por un nuevo subtipo de influenza deben reportarse según el Reglamento Sanitario Internacional (IHR, 2005).<sup>2</sup> Esto incluye cualquier virus de influenza A que haya demostrado la capacidad de infectar a un humano y su gen (o proteína) de la hemaglutinina no es una forma mutada de aquellos, es decir, A(H1) o A(H3), que circula ampliamente en la población humana. La información de estas notificaciones es fundamental para informar las evaluaciones de riesgo para la influenza en la interfaz humano-animal.

### Avian Influenza Viruses/Virus de la influenza aviar

#### Avian influenza A(H5) viruses/Virus de la influenza aviar A(H5)

Since the last update on 10 May 2019, no new laboratory-confirmed human cases of influenza A(H5) virus infections were reported to WHO. According to reports received by the World Organisation for Animal Health (OIE), various influenza A(H5) subtypes continue to be detected in birds in Africa, Europe and Asia. Overall, the risk assessment has not changed. Desde la última actualización, el 10 de mayo de 2019, no se reportó a la OMS de nuevos casos en humanos confirmados por laboratorio de infecciones por el virus de la influenza A(H5). Según los informes recibidos por la Organización Mundial de Sanidad Animal (OIE), se siguen detectando varios subtipos de influenza A(H5) en aves de África, Europa y Asia. En general, la evaluación de riesgos no ha cambiado.

#### Avian influenza A(H7N9) viruses/Virus de la influenza aviar A(H7N9)

Since the last update on 10 May 2019, no new laboratory-confirmed human cases of influenza A(H7N9) virus infections were reported to WHO. There have been no publicly available reports from animal health authorities in China of influenza A(H7N9) virus detections in animals in recent months.<sup>3</sup> Overall, the risk assessment has not changed. Desde la última actualización el 10 de mayo de 2019, no se informó a la OMS de nuevos casos de infección por virus de influenza A(H7N9) en humanos confirmados por laboratorio. En los últimos meses, las autoridades de sanidad animal de China no han publicado informes de detección de virus de influenza A(H7N9) en animales en los últimos meses.<sup>3</sup> En general, la evaluación de riesgos no ha cambiado.

### Influenza A(H1N1)v virus /Virus de influenza A(H1N1)v

Since the last update on 10 May 2019, one new laboratory-confirmed human case of influenza A(H1N1)v virus infection was reported. On 31 May 2019, the IHR National Focal Point (NFP) of the United States of America (USA) reported the detection of an influenza A(H1N1)v in an adult over 65 years of age. The patient, with underlying medical conditions, sought medical care for an acute respiratory illness on 5 May 2019. After hospital admission, a sample was collected as part of routine surveillance activities and the virus was initially characterized as a seasonal A(H1N1)pdm09 virus. Upon genetic sequencing of the virus at the National Influenza Reference Center in Wisconsin state, per national surveillance specimen submission guidelines, and further testing at the WHO Collaborating Centre (US Centers for Disease Control and Prevention), the virus was confirmed to be an influenza A(H1N1) variant virus. Genetic analysis of the virus indicated that the haemagglutinin (HA) and neuraminidase (NA) genes were closely related to the current seasonal influenza A(H1N1)pdm09 viruses, while the internal genes were closely related to those in influenza viruses circulating and detected in swine populations in the USA in recent years. The case recovered, no further cases were detected and no other viruses with this combination of genes have been reported in humans. Investigation around this case has thus far not indicated the source of exposure to the virus.

Desde la última actualización el 10 de mayo de 2019, se informó un nuevo caso confirmado por laboratorio de infección por virus de influenza A(H1N1)v. El 31 de mayo de 2019, el Punto Focal Nacional (PFN) de los Estados Unidos de América (EE. UU.) informó sobre la detección de un virus de influenza A(H1N1)v en un adulto mayor de 65 años. El paciente, con afecciones médicas subyacentes, buscó atención médica para una enfermedad respiratoria aguda el 5 de mayo de 2019. Después del ingreso hospitalario, se tomó una muestra como parte de las actividades de vigilancia de rutina y el virus se caracterizó inicialmente como un virus estacional A(H1N1)pdm09. Tras la secuenciación genética del virus en el Centro Nacional de Referencia de Influenza en el estado de Wisconsin, según las pautas de envío de muestras de vigilancia nacional y pruebas adicionales en el Centro Colaborador de la OMS (Centros de Control y Prevención de Enfermedades de EE. UU.), se confirmó que el virus era una variante del virus influenza A(H1N1). El análisis genético del virus indicó que los genes de la hemaglutinina (HA) y la neuraminidasa (NA) estaban estrechamente relacionados con los virus actuales de la influenza estacional A(H1N1)pdm09, mientras que los genes internos estaban estrechamente relacionados con los virus de la influenza circulante detectados en poblaciones de cerdos en los EE.UU. en los últimos años. El caso se recuperó, no se detectaron más casos y no se han notificado otros virus con esta combinación de genes en humanos. La investigación sobre este caso hasta ahora no ha indicado la fuente de exposición al virus.

<sup>1</sup> For epidemiological and virologic features of human infections with animal influenza viruses not reported in this assessment, see the yearly report on human cases of influenza at the human-animal interface published in the Weekly Epidemiological Record. Available at: [www.who.int/wer/en/](http://www.who.int/wer/en/)

<sup>2</sup> World Health Organization. Case definitions for the four diseases requiring notification in all circumstances under the International Health Regulations (2005). Available at: [www.who.int/ihr/Case\\_Definitions.pdf](http://www.who.int/ihr/Case_Definitions.pdf)

<sup>3</sup> Food and Agriculture Organization of the United Nations. H7N9 Situation Update. [http://www.fao.org/ag/againfo/programmes/en/empres/H7N9/situation\\_update.html](http://www.fao.org/ag/againfo/programmes/en/empres/H7N9/situation_update.html)

## ACRONYMS

ARI	Acute Respiratory Infection
CARPHA	Caribbean Public Health Agency
CENETROP	Centro de Enfermedades Tropicales (Santa Cruz, Bolivia)
EW	Epidemiological Week
ILI	Influenza-like illness
INLASA	Instituto Nacional de Laboratorios de Salud (La Paz, Bolivia)
INS	Instituto Nacional de Salud
ORV	Other respiratory viruses
SARI	Severe acute respiratory infection
SEDES	Servicio Departamental de Salud (Bolivia)
ICU	Intensive Care Unit
RSV	Respiratory Syncytial Virus

## ACRÓNIMOS

CARPHA	Agencia de Salud Pública del Caribe/Caribbean Public Health Agency
CENETROP	Centro de Enfermedades Tropicales (Santa Cruz, Bolivia)
ETI	Enfermedad Tipo influenza
INLASA	Instituto Nacional de Laboratorios de Salud (La Paz, Bolivia)
INS	Instituto Nacional de Salud
IRA	Infección Respiratoria Aguda
IRAG	Infección Respiratoria Aguda grave
OVR	Otros virus respiratorios
SE	Semana epidemiológica
SEDES	Servicio Departamental de Salud (Bolivia)
UCI	Unidad de Cuidados Intensivos
VRS	Virus Respiratorio Sincitial